

บทที่ 2

เอกสารที่เกี่ยวข้องและทฤษฎี

2.1 เอกสารที่เกี่ยวข้อง

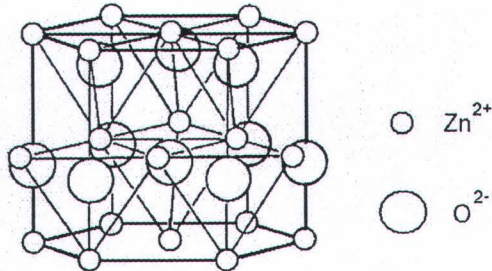
การเตรียมฟิล์มบางออกไซด์ปorig สำหรับไฟฟ้านี้ สามารถเตรียมได้หลายวิธี เช่น วิธีสเปรย์ไฟโรไอลิซิส (spray pyrolysis) [7-10] วิธีพัลส์ เลเซอร์ ดีโพซิชัน (pulsed laser deposition) [11] วิธีฟิลเตอร์ คาಥodic แวกคิวอัม อาร์ค เทคนิค (filtered cathodic vacuum arc technique) [12] วิธีคากาಥodic ดีโพซิชัน (cathodic deposition) [13] และวิธีสปัตเตอริง (sputtering) [14-20] เป็นต้น สำหรับฟิล์มบาง AZO ซึ่งมีสภาพต้านทานไฟฟ้าต่ำ ($10^4 \Omega\text{cm}$) และการส่งผ่านแสงสูงในช่วง 80 – 90 % โดยเตรียมจากเทคนิคแมกนีตอวนสปัตเตอริงที่ให้ความร้อนกับแผ่นรองรับ โดยการใช้โลหะ ชิงค์เป็นเป้าในโหมดดีซี (dc; direct current) หรือใช้เซรามิกส์เป็นเป้าในโหมดอาร์เอฟ (rf; radio frequency) นั้น ได้ถูกนำไปประยุกต์ใช้เป็น TCO ในเซลล์แสงอาทิตย์ชนิดอะมอร์ฟสิลิคอน (a-Si:H) ไมโครคริสตอลไลน์ซิลิคอน ($\mu\text{-Si:H}$) และแทนดีymเซลล์ (a-Si:H/ $\mu\text{-Si:H}$) แต่ด้วยฟิล์มที่เตรียม ด้วยเทคนิคนี้มีพื้นผิวที่ค่อนข้างเรียบ จึงมีการพัฒนาพื้นผิวของฟิล์มบางด้วยการกัดด้วยกรดเพื่อให้ ฟิล์มขุ่นระและเพิ่มคุณสมบัติการกระเจิงของแสง (light scattering) ภายในเซลล์ดังขึ้น [21] อีกทั้ง ยังขยายสเกลเพื่อใช้ในระดับอุตสาหกรรมในขนาด $30 \times 30 \text{ cm}^2$ โดยพบว่าเซลล์แสงอาทิตย์มีประสิทธิผล ประมาณ 11 % [22] อย่างไรก็ตามเซลล์ยังมีราคาสูง ดังนั้นจึงมีการพัฒนาเทคนิคและวิธีการเพื่อให้ ต้นทุนในการผลิตต่ำลง โดยการใช้ดีซีแมกนีตอวนสปัตเตอริงร่วมกับใช้เซรามิกส์ความหนาแน่นสูง ปราศจากก้าวไวปฏิกิริยาซึ่งเป็นเทคนิคที่รวมมาต้นทุนต่ำเพื่อผลิตฟิล์มบาง AZO ประยุกต์ใช้ในเซลล์ แสงอาทิตย์หากแต่ประสิทธิผลของเซลล์แสงอาทิตย์ที่ได้ก็ยังไม่สูงนัก [23-24]

ดังนั้นจึงมีการวิจัยพัฒนาอย่างต่อเนื่องเพื่อเพิ่มประสิทธิภาพไลท์แทร็บบิ้งของฟิล์มบาง AZO [25-26] และมีนักวิจัยหลายกลุ่มมุ่งเน้นพัฒนาฟิล์มบาง TCO โดยการเจืออินเดียมในฟิล์มชิงค์ออกไซด์ [27] หรือการเจือ Co หรือ Cr ร่วมใน AZO [28] และมีความพยายามที่จะพัฒนา TCO ชนิดใหม่ เช่น Zn_2SnO_4 [29], ZnSnO_3 [30], MgIn_2O_4 [31], Zn_2InO_5 [32], $\text{In}_4\text{Sn}_3\text{O}_{12}$ [33] อย่างไรก็ตาม คุณสมบัติทางด้านกายภาพและเคมีของฟิล์ม TCO ก็ถูกจำกัดโดยคุณสมบัติของสารหลักที่ใช้ และมีรายงานถึงฟิล์ม TCO ในระบบสารประกอบที่มี 2 และ 3 องค์ประกอบ เช่นระบบ $\text{In}_2\text{O}_3\text{-SnO}_2$, $\text{Zn}_2\text{In}_2\text{O}_5\text{-In}_4\text{Sn}_3\text{O}_{12}$ [34] และ $\text{ZnO}\text{-In}_2\text{O}_3$ [35] โดยสมบัติทางกายภาพและทางเคมีของ TCO สามารถควบคุมได้โดยการเปลี่ยนองค์ประกอบทางเคมี ซึ่งอาจทำให้ฟิล์ม TCO มีความเหมาะสมที่จะ นำไปใช้งานเฉพาะทางมากขึ้น แต่ยังไม่มีรายงานด้านคุณสมบัติทางไลท์แทร็บบิ้งสำหรับเซลล์แสงอาทิตย์ของ TCO ชนิดใหม่นี้

2.2 ทฤษฎี

2.2.1 ชิงค์ออกไซด์

ชิงค์ออกไซด์ (ZnO) เป็นสารกึ่งตัวนำชนิดเอ็น (n -type semiconductor) และมีโครงสร้างเป็นแบบเวร์ตไชต์ (wurtzite structure) โดยมีไอออนของออกซิเจน (O^{2-}) อยู่ในตำแหน่งเยซั่วโกลอลโคลสเพค (hexagonal close packed:HCP) และไอออนของชิงค์ (Zn^{2+}) อยู่ในตำแหน่งยาฟเตตรายีดรอณ (half tetrahedral) โดยแต่ละไอออนของชิงค์จะมีไอออนของออกซิเจน 4 ไอออนอยู่โดยรอบ ดังภาพประกอบ 2.1 โดยมีคุณสมบัติดังตาราง 2.1



ภาพประกอบ 2.1 โครงสร้างแบบ เวร์ตไชต์ของ ZnO [36]

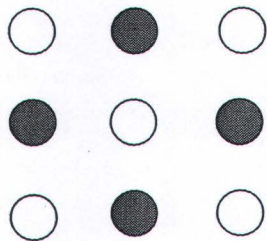
มีรายงานว่าค่าสภาพต้านทานไฟฟ้าของชิงค์ออกไซด์ สามารถทำให้ลดลงได้ 10 เท่าด้วยการเติมสารเจือประเภทไตรวาเลนท์ แคทไอออน (trivalent cation) เช่นอะลูมิเนียม (Al) ในปริมาณ 0.5 – 1 % หรือให้เกิดอัตราการเย็นตัวอย่างรวดเร็ว (quenching) ที่อุณหภูมิสูง หรือการให้ความร้อนในบรรยากาศเหมาะสมเพื่อเพิ่มอิเล็กตรอนอิสระซึ่งเป็นพาหนะไฟฟ้า และสามารถทำให้ค่าสภาพต้านทานไฟฟ้าเพิ่มขึ้นประมาณ 100 เท่าด้วยการเติมสารเจือประเภทไมโนวาเลนท์ แคทไอออนในปริมาณเดียวกัน [37]

ตารางที่ 2.1 คุณสมบัติของซิงค์ออกไซด์ [37]

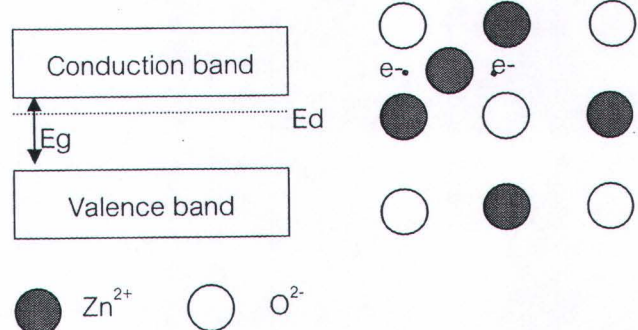
Energy gap	3.2 eV
Electron mobility	$180 \text{ cm}^2/\text{V s}$
Hole mobility	
Conductivity	10^2 Sm^{-1}
Density	5.67 g/cm^3
Electrical resistivity	$0.01 \Omega\text{m}$
Thermal conductivity	$25 \text{ W m}^{-1}\text{K}^{-1}$ (at 20°C)
Start vaporize at around	1000°C
Refractive index	2.008 in visible light
Transparent infrared region in wavelengths	1.5-15 μm

ซิงค์ออกไซด์ เป็นสารกึ่งตัวนำชนิดเดินโดยมีอะตอมผู้ให้ 2 ส่วน คือ ตำแหน่งว่างของออกซิเจน (oxygen vacancy) และอะตอมแทรกของ Zn^{2+} (interstitial zinc atom) ซึ่งทั้งคู่ให้อิเล็กตรอนอิสระในโครงสร้าง [38-39] โดยตำแหน่งว่างของออกซิเจนเกิดจากพลังงานความร้อนที่อุณหภูมิห้องทำให้ออกซิเจนมีพลังงานมากพอที่จะหลุดออกจากตำแหน่งจึงเกิดอิเล็กตรอนอิสระขึ้น สำหรับอะตอมแทรกของ Zn^{2+} ซึ่งให้อิเล็กตรอนอิสระ เกิดจากอะตอมส่วนเกินของ Zn^{2+} แทรกเข้าไปอยู่ในโครงสร้างในรูปไอโอนและให้อิเล็กตรอนอิสระ 2 ตัวดังรูป 2.2 ดังนั้นเมื่อเพิ่มพลังงานเพียงเล็กน้อยให้กับอิเล็กตรอน อิเล็กตรอนจะสามารถเคลื่อนที่กลยุยเป็นพาหนะนำไฟฟ้าโดยทำให้ซิงค์ออกไซด์เป็นสารกึ่งตัวนำชนิดเดิน

Pure ZnO



ZnO with excess Zn



ภาพประกอบ 2.2 แสดงการเกิดอิเล็กตรอนอิสระซึ่งเป็นพาหนะนำไฟฟ้าในซิงค์ออกไซด์

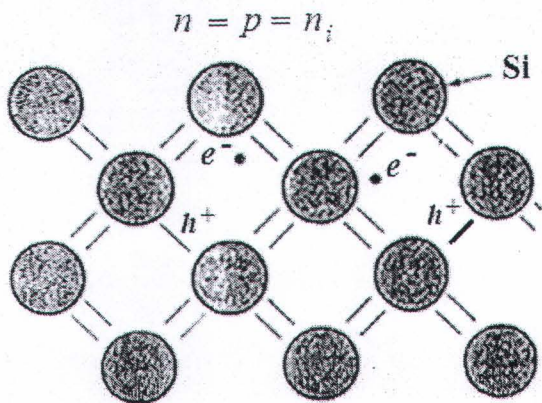


2.2.2 สารกึ่งตัวนำ (Semiconductor)

สารกึ่งตัวนำ [40] เป็นวัสดุที่มีสภาพนำไฟฟ้าสูงกว่าไดอิเล็กทริกแต่ต่ำกว่าตัวนำ ลักษณะแบบพลังงาน (Energy band) โดยทั่วไปจะประกอบด้วยແນບວาเลนซ์ (Valence band) และແນบการนำไฟฟ้า (Conduction band) มีช่องว่างพลังงาน (Energy gap : E_g) ซึ่งมีความกว้างไม่เกิน 4 eV กันระหว่างแบบทั้งสองนี้ เมื่ออิเล็กตรอนที่อยู่ในແນບວาเลนซ์ได้รับพลังงานมากพอก็จะสามารถข้ามช่องว่างพลังงานไปยังແນบการนำและทำให้เกิดการนำกระแสได้ ซึ่งสารกึ่งตัวนำแบ่งออกได้เป็น 2 ชนิดคือ สารกึ่งตัวนำบริสุทธิ์ (Intrinsic semiconductor) และสารกึ่งตัวนำไม่บริสุทธิ์ (Extrinsic semiconductor)

1. สารกึ่งตัวนำบริสุทธิ์ (Intrinsic semiconductor)

สารกึ่งตัวนำบริสุทธิ์ [40] จะยึดเหนี่ยวกันด้วยพันธะدواณ์ เซ่น ชิลิกอน หรือเจอร์มาเนียม ซึ่งอยู่ในธาตุหมู่ 4A ดังภาพประกอบ 2.3 การนำไฟฟ้าในสารกึ่งตัวนำชนิดนี้อธิบายได้โดยพิจารณาแบบพลังงาน ดังภาพประกอบ 4 ที่ 0 K สารกึ่งตัวนำมีແນບວาเลนซ์ที่มีอิเล็กตรอนบรรจุอยู่เต็ม แต่ແນบการนำจะว่างเปล่าไม่มีพานะประจุอยู่เลย แต่ถ้าทำให้อุณหภูมิสูงขึ้น จะทำให้เกิดการสั่นสะเทือนและทำให้วาเลนซ์อิเล็กตรอนเกิดการเคลื่อนที่หลุดออกจากพันธะدواณ์กลายเป็นอิเล็กตรอนอิสระและสามารถเคลื่อนที่จากແນບວาเลนซ์ไปยังແນบการนำได้ เนื่องจากช่องว่างพลังงานในสารกึ่งตัวนำบริสุทธิ์มีความกว้างไม่มากนัก ไม่จำเป็นต้องให้พลังงานสูงแก่อิเล็กตรอน อิเล็กตรอนก็สามารถเคลื่อนที่ไปยังແນบการนำได้ การเคลื่อนที่ของวาเลนซ์อิเล็กตรอนแต่ละตัวจะทำให้เกิดไฮล์ (Hole) เกิดขึ้น ตัวอย่างเช่น ชิลิกอนที่มีวาเลนซ์อิเล็กตรอน 4 ตัว เมื่อให้อุณหภูมิเพิ่มขึ้น พลังงานความร้อนที่ระดับอุณหภูมินี้ห้องก็เพียงพอที่จะกระตุ้นให้อิเล็กตรอนเคลื่อนที่จากແນບວาเลนซ์ไปยังແນบการนำได้ การที่อิเล็กตรอนจะโดดจากແນບວาเลนซ์ไปยังແນบการนำจะทำให้เกิดไฮล์ในແນບวาเลนซ์ ซึ่งไฮล์ที่เกิดขึ้นมีประจุเป็นบวกและเกิดอิเล็กตรอนในແນบการนำซึ่งมีประจุไฟฟ้าเป็นลบโดยเกิดเป็นคู่อิเล็กตรอน – ไฮล์ (Electron – hole pair) ดังภาพประกอบ 2.4 ดังนั้นสารกึ่งตัวนำบริสุทธิ์จึงมีพานะนำไฟฟ้า 2 ชนิด คือ อิเล็กตรอนและไฮล์



n = ความหนาแน่นอิเล็กตรอนในแบบการนำ

p = ความหนาแน่นโพลในแบบ瓦เลนซ์

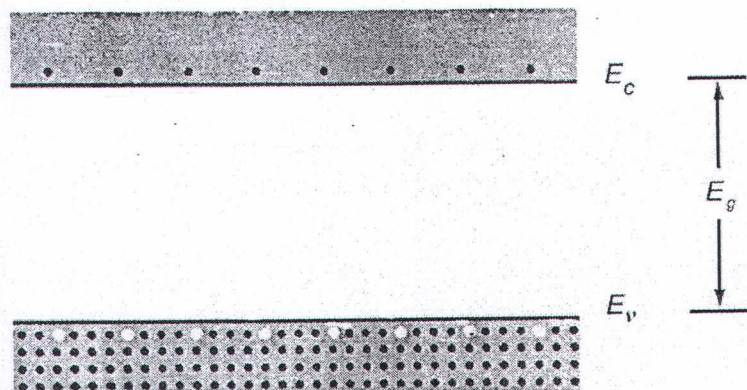
n_i = ความหนาแน่นพานะตัวนำใน

สารกึ่งตัวนำบริสุทธิ์

e^- : Electron

h^+ : Hole

ภาพประกอบ 2.3 แสดงคู่อิเล็กตรอนและโพลในพันธะโควาเลนซ์ของผลึกซิลิกอน [40]



ภาพประกอบ 2.4 แบบพลังงานสารกึ่งตัวนำบริสุทธิ์ (Intrinsic semiconductor) [40]

2. สารกึ่งตัวนำไม่บริสุทธิ์ (Extrinsic semiconductor)

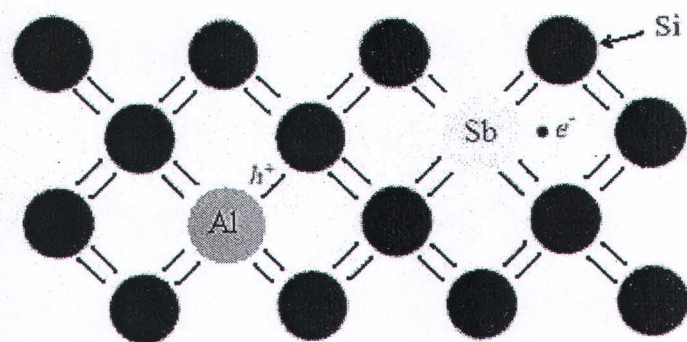
สารกึ่งตัวนำไม่บริสุทธิ์ [40] สามารถแสดงคุณสมบัติการนำไฟฟ้าได้โดยการเติมสารเจือลงในอะตอมตัวทำละลาย ทำให้เกิดการละลายของแข็งแบบแทนที่หรือการแทรก สารเจือที่เติมลงไปช่วยให้อิเล็กตรอนหรือโอลเกิดขึ้นมาในแผลตทิช ก่อให้เกิดการนำไฟฟ้าได้ โดยสารกึ่งตัวนำไม่บริสุทธิ์แบ่งออกเป็น 2 ชนิด คือ ชนิดเอ็น (n) และชนิดพี (p)

ก) สารกึ่งตัวนำชนิดเอ็น (n-type semiconductor)

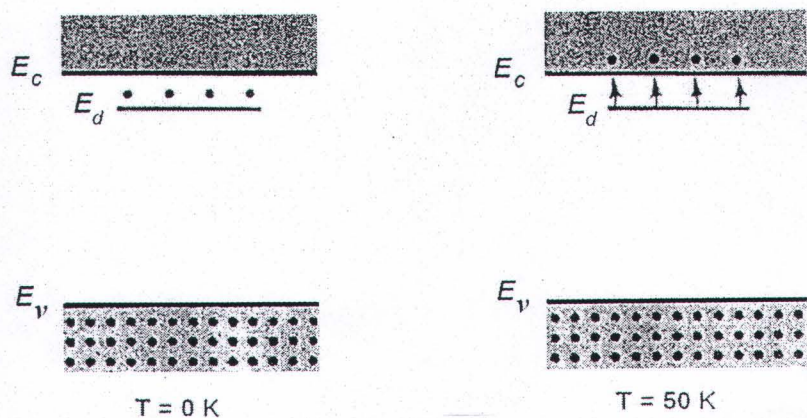
สารกึ่งตัวนำไม่บริสุทธิ์ชนิดเอ็น (n-type semiconductor) คือ สารกึ่งตัวนำที่มีพานะประจุลบมากกว่าพานะประจุบวก เพราะมีอิเล็กตรอนเพิ่มมาจากสารเจือ ตัวอย่างเช่น พลวง (Sb) ที่มีว่าเลนซ์อิเล็กตรอน 5 ตัวถูกเติมลงไปในซิลิกอน (Si) ที่มีว่าเลนซ์อิเล็กตรอน 4 ตัว ดังภาพประกอบ 2.5 อิเล็กตรอนจากสองอะตอมจับคู่กันด้วยพันธะโควาเลนซ์ 4 พันธะ และจะเหลือว่าเลนซ์อิเล็กตรอนของพลวง 1 ตัวดึงดูดกับนิวเคลียสของพลวงอย่างหลวມๆด้วยพลังงานพันธะเพียง 0.044 eV อิเล็กตรอนของพลวงต้องการพลังงานเพิ่มขึ้นอีกเพียง 0.044 eV ก็จะกลายเป็นอิเล็กตรอนอิสระและสามารถนำกระแสได้ เรียกสารที่เจือพลวงว่า ตัวให้ (donor) โดยมีระดับพลังงานอยู่ใต้แกนการนำเรียกว่า ระดับตัวให้ (Donor level : E_d) ดังภาพประกอบ 2.6

ข) สารกึ่งตัวนำชนิดพี (p-type semiconductor)

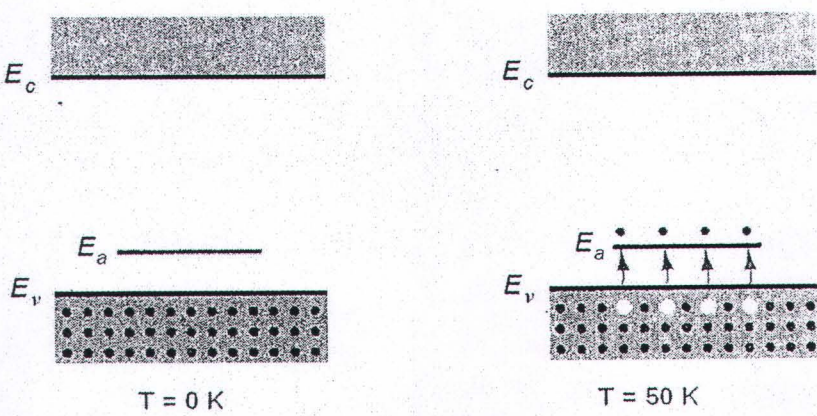
สารกึ่งตัวนำไม่บริสุทธิ์ชนิดพี (p-type semiconductor) เป็นสารกึ่งตัวนำที่มีการเติมสารเจือเพื่อให้มีพานะประจุบวกมากกว่าพานะประจุลบ ตัวอย่าง เช่นการเติมธาตุหนู่ 3A อันได้แก่ อลูมิเนียม (Al) อินเดียม (In) ลงในซิลิกอน เมื่ออะตอมซึ่งมีว่าเลนซ์อิเล็กตรอน 3 ตัวของสารเจือมีพันธะโควาเลนซ์กับอะตอมที่มีว่าเลนซ์อิเล็กตรอน 4 ตัว ทำให้เกิดโอล 1 โอลขึ้นในโครงสร้าง และพร้อมที่จะรับอิเล็กตรอน จึงเรียกสารเจือเหล่านี้ว่าตัวรับ (Acceptor) ดังภาพประกอบ 2.5 โดยมีระดับพลังงานเหนือแกนว่าเลนซ์อิเล็กตรอนเล็กน้อยเรียกว่าระดับตัวรับ (Acceptor level : E_a) ดังภาพประกอบ 2.7 อิเล็กตรอนในแกนว่าเลนซ์เข้าไปอยู่ในระดับตัวรับนี้ได้ยากกว่าเข้าไปอยู่ในแกนการนำ เนื่องจากใช้พลังงานน้อยกว่า เมื่ออิเล็กตรอนออกไปจากแกนว่าเลนซ์แล้วจะทำให้เกิดโอลที่มีส่วนเคลื่อนที่ได้ซึ่งทำให้มีการนำไฟฟ้าเกิดขึ้นในสารกึ่งตัวนำชนิดนี้



ภาพประกอบ 2.5 แสดงตัวให้และตัวรับอิเล็กตรอนในพันธะความเด่นชัดของผลึกซิลิกอน [40]



ภาพประกอบ 2.6 แบบพลังงานสารกึ่งตัวนำชนิดเงิน [40]



ภาพประกอบ 2.7 แบบพลังงานสารกึ่งตัวนำชนิดฟี [40]

2.2.3 การนำไฟฟ้าของซิงค์ออกไซด์เจือด้วยอัลูมิเนียมและอินเดียม (Al₂O₃)

ในโครงสร้างของ ZnO อะตอมของ Zn ทำพันธะกับ O โดยเมื่อให้อุณหภูมิสูงขึ้น ZnO จะสูญเสียออกซิเจน (O) ไปทำให้อิเล็กตรอนของซิงค์ 2 อิเล็กตรอนไม่มีพันธะกับ O และเกิดเป็นอิเล็กตรอนอิสระ ซึ่งเป็นการเพิ่มจำนวนอิเล็กตรอนอิสระให้มากขึ้น ไม่เดลก่อนหน้านี้เชื่อว่าผลของการที่ผลึกมีโครงสร้างไม่สมบูรณ์อันเนื่องมาจากการละลายของ Zn แทรกอยู่ภายในโครงสร้าง ทำให้เกิดอิเล็กตรอนอิสระ แต่ปัจจุบันเป็นที่ยอมรับว่าการนำไฟฟ้าของ ZnO เกิดจากการสูญเสีย O โดยที่อุณหภูมิห้องก็พอเพียงที่จะทำให้เกิดช่องว่าง O อิเล็กตรอนอิสระเหล่านี้เมื่อให้พลังงานกระตุ้นเพียงเล็กน้อยก็สามารถกระโดดเข้าไปบนแกนการนำไฟฟ้าและสามารถนำไฟฟ้าได้ [39]

คุณสมบัติทางไฟฟ้าของ ZnO ขึ้นอยู่กับองค์ประกอบของสารเจือในปริมาณน้อยๆ เมื่อเจือ Al₂O₃ และ In₂O₃ ลงไปในโครงสร้างของ ZnO อยู่ในปริมาณอะตอม (Al³⁺) และอินเดียมอะตอม (In³⁺) ซึ่งมีว่าเล่นซึ่งอิเล็กตรอน 3 ตัว จะเข้าไปแทนที่ในตำแหน่งของ Zn และทำพันธะกับ O ในโครงสร้าง แต่เมื่อจาก Al และ In มีว่าเล่นซึ่งอิเล็กตรอน 3 ตัว และ O มีว่าเล่นซึ่งอิเล็กตรอน 2 ตัว เมื่อทำพันธะกันแล้วจะมีอิเล็กตรอนเหลือ 1 ตัว ที่ไม่ได้ทำพันธะกับอะตอมของ O แต่จะเกาะอยู่กับนิวเคลียสอย่างหลวມๆ ดังนั้นเมื่อให้พลังงานกระตุ้นเข้าไปในปริมาณเล็กน้อยก็จะทำให้อิเล็กตรอนนี้หลุดออกจากนิวเคลียสเป็นอิเล็กตรอนอิสระ (Free electron) และสามารถนำไฟฟ้าได้ โดยในซิงค์ออกไซด์เจือด้วยอัลูมิเนียมและอินเดียมนี้ มีอะตอมผู้ให้ 4 ส่วนคือตำแหน่งว่างของออกซิเจน (oxygen vacancy) อะตอมแทรกของ Zn²⁺ (interstitial zinc atom) อะตอมสารเจือ Al³⁺ (doped Al atom) และอะตอมสารเจือ In³⁺ (doped In atom)

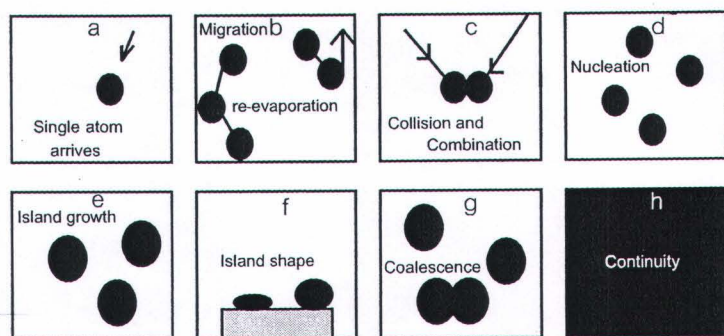
2.2.4 กระบวนการเคลือบฟิล์มบาง [41-44]

การเคลือบฟิล์มบางเป็นกระบวนการทำให้ธาตุหรือสารประกอบจากเป้า ตกลงเคลือบบนแผ่นรองรับ ซึ่งสามารถทำได้จากการกระบวนการเคลือบทาทางเคมี (chemical vapor deposition : CVD) เช่น วิธีสเปรย์ ไพริไลซิส และกระบวนการเคลือบทาทางฟิสิกส์ (physical vapor deposition : PVD) เช่นวิธีสปัตเตอร์ริง โดยกระบวนการเกิดฟิล์มบางประกอบด้วย 3 ขั้นตอนคือ

1. การสร้างสารเคลือบให้อยู่ในรูปอะตอม โมเลกุล หรืออนุภาค
2. การเคลื่อนย้ายสารเคลือบในรูปอะตอม โมเลกุล หรืออนุภาคmany แผ่นรองรับ
3. เกิดการควบแน่นและการพอกพูนของสารเคลือบเป็นแผ่นฟิล์มบางแผ่นรองรับ

สำหรับการเคลือบฟิล์มบางในระบบสูญญากาศ สารเคลือบที่ติดกระแทบแผ่นรองรับมักอยู่ในรูปของอะตอมหรือโมเลกุล โดยพลังงานพันธะระหว่างอะตอมสารเคลือบกับแผ่นรองรับและอุณหภูมิ เป็นตัวกำหนดความสามารถในการแพร่ของสารเคลือบบนแผ่นรองรับ เมื่ออะตอมสารเคลือบติดกระแทบผิวแผ่นรองรับจะเกิดการเกาะติดและมีการรวมตัวกันของอะตอมซึ่งทำให้มีความเสถียรมากกว่า

กระบวนการเดียว การรวมตัวของอะตอมจากสองอะตอมเป็นสามอะตอมหรือสี่อะตอมเข่นี้เรียกว่าการเกิดนิวเคลียชัน (nucleation) ซึ่งขึ้นกับความหนาแน่นของอะตอมเดียวและอัตราการพอกพูน ทำให้ได้กลุ่มอะตอมกึ่งเหลี่ยม จากนั้นกลุ่มอะตอมเริ่มโตขึ้นเป็นกลุ่มก้อน (island growth) ขนาดของกลุ่มอะตอมจะใหญ่ขึ้น โดยมีจำนวนอะตอมเพิ่มเติม หรือเพิ่มขึ้นเล็กน้อย การโตของกลุ่มอะตอมนี้จะเกิดขึ้นเรื่อยๆ จนกระทั่งแต่ละกลุ่มชนกันซึ่งเป็นกระบวนการกันเป็นก้อนของกลุ่มอะตอม (agglomeration or coalescence) โดยก้อนของกลุ่มอะตอมนี้จะมีพฤติกรรมคล้ายของเหลว (liquid-like behavior) และมีการจัดเรียงตัวในเชิงผลึกวิทยา (crystallographic orientation) การรวมกันเป็นก้อนของกลุ่มอะตอมนี้จะเกิดขึ้นจนกระทั่งพิล์มเชื่อมกันอย่างต่อเนื่อง (continuity) ดังภาพประกอบ 2.8 โดยเกิดขึ้นได้อย่างสมบูรณ์ เมื่อพิล์มมีความหนาโดยเฉลี่ยประมาณ $400\text{--}500 \text{ \AA}$ ลักษณะผิวโดยทั่วไปของพิล์มจะแสดงการรวมกลุ่มอะตอมจะดูคล้ายเนินและหุบเขา ดังโมเดลของทอมสัน [45]



ภาพประกอบ 2.8 แสดงการเกิดพิล์มบาง

เมื่อพิจารณาพิล์มในสภาวะที่เป็นกลุ่มอะตอม การจัดเรียงตัวในเชิงผลึกของกลุ่มอะตอมจะเป็นไปตามโครงสร้างของแผ่นรองรับนั่นคือเมื่อกลุ่มอะตอมเคลื่อนบนแผ่นรองรับที่เป็นผลึกหลายทิทาง (polycrystalline) การจัดเรียงตัวของกลุ่มอะตอมจะเป็นอย่างอิสระ ทำให้พิล์มที่มีโครงสร้างเป็นผลึกหลายทิศทางด้วย หากแผ่นรองรับเป็นผลึกเชิงเดียว (single crystal) พิล์มที่ได้จะเป็นผลึกเชิงเดียวด้วย

การเพิ่มอุณหภูมิของแผ่นรองรับทำให้อะตอมมีความสามารถในการเคลื่อนที่มากขึ้น โดยอะตอมที่ผิวนี้พลั่งงานเพิ่มขึ้น และสามารถเคลื่อนที่ไปยังตำแหน่งที่มีพลังงานต่ำกว่า การลดอัตราการพอกพูนช่วยให้การโตของผลึกเกิดได้ดีขึ้น เพราะอะตอมมีเวลาในการพอกพูนมากขึ้น แต่อะตอมที่ผิวนี้มีความสามารถในการเคลื่อนที่ต่ำกว่า จึงต้องใช้เวลาในการพอกพูนมากขึ้น ทำให้พิล์มที่มีเกรนขนาดใหญ่ มีข้อบกพร่องในเกรนน้อย และพิล์มที่ได้มีความหนามากพอสำหรับการเชื่อมต่อกันอย่างสมบูรณ์

การเคลือบฟิล์มด้วยวิธีสเปตเตอริنجนั้นสารเคลือบที่ตกลงมาผิวของรับส่วนใหญ่จะอยู่ในรูปของอะตอนหรือไม่เลกุล และเกิดการฟอร์มตัวจนพอกพูนเป็นชั้นฟิล์มบางขึ้น ในช่วงเวลาหนึ่งการฟอร์มตัวของฟิล์มบางจะมีปัจจัยหลายอย่าง เช่น พลังงานจลน์ของอะตอนสารเคลือบ พลังงานพันธะระหว่างอะตอนสารเคลือบ (Bonding energy) กับแผ่นรองรับและอะตอนสารเคลือบด้วยกัน อุณหภูมิของแผ่นรองรับ (Substrate temperature) และตำแหน่งของอะตอนสารเคลือบที่ตกลงมา การเกิดและการติดของฟิล์มบาง สามารถแบ่งออกเป็นลำดับขั้นได้ดังนี้

1. อะตอนจากเป้าสารเคลือบที่ถูกชนด้วยของไออกอนบากที่มีพลังงานสูง จะหลุดออกและเคลื่อนที่ด้วยพลังงานจลน์ผ่านระบบสัญญาณ ที่มีอนุภาคของก๊าซ และพลาสมาราดูอยู่

2. เมื่ออะตอนตกลงมาที่ผิวแผ่นรองรับ อะตอนที่ตกลงมาจะมีพลังงานที่ได้รับจากการถ่ายเทโนเมนต์จากการชน ทำให้อะตอนมีความสามารถในการเคลื่อนที่ของพื้นผิว (Surface mobility) ซึ่งเป็นตัวที่ช่วยให้อะตอนสามารถเคลื่อนที่ไปบนผิวแผ่นรองรับได้ เพื่อหาตำแหน่งที่เหมาะสมกับการเกิดนิวเคลียส

3. หลังจากที่อะตอนเคลื่อนที่ไปบนผิวรองรับ อะตอนจะเกิดการรวมตัวเป็นนิวเคลียสได้ด้วยรูปแบบดังนี้

- 3.1 เกิดปฏิกิริยา กับผิวแผ่นรองรับ โดยอะตอนที่ตกลงมาเกิดพันธะเคมีกับผิวแผ่นรองรับ อะตอนต่ออะตอน ถ้าแรงยึดเหนี่ยวจะห่างอะตอนกับผิวแผ่นรองรับแข็งแรง การเคลื่อนตัวของอะตอนที่ผิวน้ำจะมีค่าต่ำ ทำให้เกิดเป็นนิวเคลียสและอะตอนอื่นบนผิวจะสามารถเข้ามาร่วมตัวกับนิวเคลียสที่เกิดขึ้นแล้ว เพื่อลดแรงตึงผิว (Surface tension) ระหว่างฟิล์มเคลือบกับผิวแผ่นรองรับ

- 3.2 ถ้าแรงยึดเหนี่ยวจะห่างอะตอนกับผิวแผ่นรองรับมีค่าต่ำ อะตอนก็มีค่าความสามารถในการเคลื่อนที่ของพื้นผิวสูง ทำให้สามารถเคลื่อนที่มาร่วมตัวกัน ณ ตำแหน่งที่เหมาะสมต่อการเกิดนิวเคลียส คือเป็นตำแหน่งที่สามารถสร้างพันธะได้แข็งแรงกว่า โดยตำแหน่งที่เหมาะสมต่อการเกิดนิวเคลียสนั้น ได้แก่ ลักษณะพื้นผิวที่ไม่ต่อเนื่องหรือรอยขีด ความบกพร่องของระบบบนผิวแผ่นรองรับ อะตอนแปลกลปลงบนผิวแผ่นรองรับ บริเวณที่มีประจุบนผิวแผ่นรองรับที่เป็นอนุน พื้นผิวที่มีความแตกต่างทางเคมีหรือเรียงตัวของผลึกที่แตกต่างออกไปเป็นต้น

- 3.3 เกิดนิวเคลียสจากการที่อะตอนเคลื่อนที่ไปชนกับอนุภาคอื่นที่เคลื่อนที่และอยู่บนผิวแผ่นรองรับ และฟอร์มตัวกันเป็นนิวเคลียสที่เสถียร เมื่ออะตอนเกิดการรวมตัวกันเป็นนิวเคลียสแล้ว ถ้าทำการเคลือบท่อไปจะมีจำนวนนิวเคลียสต่อพื้นที่ หรือความหนาแน่นของนิวเคลียสมากขึ้น ซึ่งนิวเคลียสจะเริ่มเชื่อมต่อกันเป็นฟิล์ม และครอบคลุมพื้นที่ผิวทั้งหมดให้เป็นเนื้อเดียวกัน ความหนาแน่นของนิวเคลียสจะขึ้นอยู่กับลักษณะพื้นผิวของแผ่นรองรับ หรือลักษณะการเรียงตัวของผลึกของผิวแผ่นรองรับสามารถเพิ่มความหนาแน่นของนิวเคลียสที่เคลือบลงบนผิวแผ่นรองรับได้ด้วยการเพิ่ม



อุณหภูมิเคลื่อน เพิ่มอัตราการเคลื่อน เปลี่ยนแปลงส่วนผสมทางเคมีของผิว เพิ่มการชนเพื่อเพิ่มความ
บกพร่องในระบบหรือเพื่อให้ผิวแผ่นรองรับขุรขะเป็นต้น

4. กลไกการโตของนิวเคลียสแบบออกเป็น 3 ประเทท โดยแยกตามความแตกต่างของการเกิด
แรงยึดเหนี่ยวระหว่างอะตอมสารเคลื่อนและแผ่นรองรับ

4.1 กลไกการเกิดการโตแบบชั้นต่อชั้น

4.2 กลไกการเกิดนิวเคลียสแบบ 3 มิติ (Three Dimension Volmer-Weber) เกิดขึ้น
เนื่องจากค่าพลังงานพื้นผิว (Surface energy) ของชั้นงานกับวัสดุเคลื่อนแตกต่างกันและโตขึ้นทุก
ทิศทาง

4.3 กลไกการเกิดนิวเคลียส โดยการฟอร์มตัวกันระหว่างชั้นของแผ่นรองรับกับวัสดุ
เคลื่อนส่วนใหญ่มักเกิดกับการเคลื่อนฟิล์มโลหะบนแผ่นรองรับโลหะ ที่อุณหภูมิต่ำ ค่าความสามารถ
ในการเคลื่อนที่ของพื้นผิวปกติต่ำด้วย ในเงื่อนไขนี้การโตของนิวเคลียสจะขึ้นอยู่กับเทอร์โมไดนาไมค์
กับพลังงานพื้นผิวของผิวงานนั้น พิจารณาการเกิดนิวเคลียสแบบ 3 มิติ พบว่าเมื่อเกิดการสะสมของ
อะตอมที่แพร่ไปบนผิวแผ่นรองรับ และเริ่มเกาะตัวกันเป็นนิวเคลียส การโตของนิวเคลียสในแนวอนจะ
มีแรงยึดเหนี่ยวทางพันธะเคมีกับผิว ที่เรียกว่าการเติบโตแบบเวทติง (Wetting growth) เช่น ทองบน
คาร์บอน อลูминิอา ซิลิกอนออกไซด์และโพลิเมอร์ การโตและการรวมตัวกันของนิวเคลียสสามารถลด
ช่องว่างระหว่างรอยต่อหรือความไม่ต่อเนื่องของโครงสร้างที่รอยต่อของแผ่นรองรับได้ เพราะเกิดแรงยึด
เหนี่ยวทางพันธะเคมีระหว่างนิวเคลียสและวัสดุที่เป็นแผ่นรองรับ

กรณีที่มีแรงยึดเหนี่ยวทางพันธะเคมีเล็กน้อยระหว่างแผ่นรองรับกับนิวเคลียส จะเกิดการโตอีก
แบบต่างหากที่เรียกว่า ลำดับชั้นการโตของเกรนแบบ การเกาะตัว-ซ่องแคบ-ต่อเนื่อง (Island-
Channel-Continous Film) ก่อนจะรวมตัวกันนิวเคลียสจะมีพฤติกรรมคล้ายของเหลว คือสามารถ
หมุนและจัดเรียงโครงผลึกได้เอง การเกาะตัวกันเป็นกลุ่มของนิวเคลียสเกิดขึ้น เมื่ออุณหภูมิของ
นิวเคลียสมีค่าสูงพอที่จะเกิดการแพร่ของอะตอมและการจัดเรียงตัวเป็นนิวเคลียสแบบบล็อก (Ball
Up) ที่มีพื้นที่ผิวสัมผัสน้อยที่สุด ถ้ามีแรงยึดเหนี่ยวระหว่างอะตอมเคลื่อนกับผิวแผ่นรองรับสูงจะมี
อัตราการแพร่ต่ำหรือเกิดการฟอร์มตัวเป็นสารประกอบที่แผ่นรองรับ โดยโครงสร้างของฟิล์มบางจะ
เป็นไปตามเงื่อนไขของอุณหภูมิเคลื่อนต่ออุณหภูมิหลอมเหลว (T/T_m) ซึ่งแบ่งออกเป็น 4 ส่วน ตาม
ลักษณะโครงสร้างและสมบัติทางกายภาพ ดังภาพประกอบ 2.9

บริเวณ 1 (Zone1)

เป็นการเคลื่อนที่เกิดในช่วงอุณหภูมิต่ำและความดันกําขันจะเคลื่อนมีค่าสูง อะตอมที่อยู่บน
ผิวแผ่นรองรับจะมีค่าสัมประสิทธิ์การแพร่ต่ำ ทำให้เกิดการเกาะตัวเป็นกลุ่มเล็กๆ กระจายตัว แต่เกิด
เป็นโครงสร้างผลึกที่มีลักษณะเรียกแหนบแบบผลึกเรียว (Tapers crystallites) จากนิวเคลียสที่มีปริมาณ

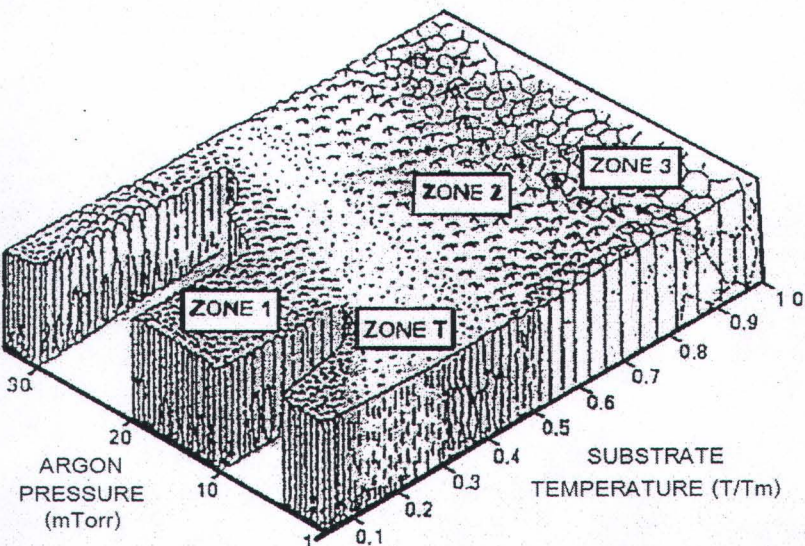
สถานที่..... วันที่..... - ๒๐๘ ๒๕๕๕

เลขทะเบียน.....	245891
เลขเรียกหน้าเจ้า.....	

จำกัดทำให้เกิดความหนาแน่นของโครงสร้างต่ำเมื่อว่าด้วยขนาดความกว้างในระดับร้อยอัสงค์เมตรที่ T/T_m เท่ากับ 0 - 0.1 ที่ความดัน 1 mTorr ถ้าความดันก๊าซสูง บริเวณนี้จะขยายกว้างสูบบริเวณที่มีอุณหภูมิสูงขึ้นและทำให้ขนาดของผลึกเพิ่มขึ้น ถ้า T/T_m เพิ่มขึ้น เนื่องจากที่ความดันสูงความหนาแน่นของก๊าซในภาชนะจะมากขึ้นอนุภาคจะเคลื่อนที่ตกลงมาได้ยากขึ้นทำให้อุณหภูมิของผิวเคลือบตกลงมาได้น้อยและขณะที่ตกลาจารวณ์ตัวกับอนุภาคอื่นทำให้อุณหภูมิที่ตกลงมาไม่ขนาดใหญ่และมีเวลานานขึ้นในการเคลื่อนที่เพื่อฟอร์มตัวเป็นนิวเคลียส จึงทำให้ช่องว่างระหว่างเกรนมีขนาดใหญ่เกิดขึ้น ผิวเคลือบที่ขุรรากจะเกิดจากความไม่สม่ำเสมอของการตกลงนิวเคลียส โดยอุณหภูมิที่มีผลต่อการตกลงฟิล์มนักจะมาจากกระบวนการระดมยิงของไอออน (Ion bombardment) เป็นส่วนใหญ่

บริเวณ T (Zone T)

เป็นบริเวณด้านแบบสำหรับการเคลือบฟิล์มด้วยระบบสปัตเตอริ่งโดยที่ T/T_m อยู่ในช่วง 0.1 - 0.5 ที่ความดันก๊าซระหว่างเคลื่อน 1 mTorr เกิดอยู่ในช่วงระหว่างบริเวณ-1 และบริเวณ 2 อะตอมที่อยู่บนผิวแผ่นรองรับจะมีปริมาณมากขึ้นและได้รับพลังงานการชน อุณหภูมิของแผ่นรองรับจะเพิ่มขึ้นค่าความสามารถในการเคลื่อนที่ของผิวน้ำ ก็เพิ่มขึ้นและโครงสร้างในบริเวณ 1 ก็จะเข้าสูบบริเวณ T ซึ่งจะเริ่มมีเกรนยาว (Fibrous grain) เติมพื้นที่และขอบเกรนมีความหนาแน่นสูงขึ้นมาก จึงมีการแพร่ของอะตอมผ่านขอบเกรนที่ไม่แข็งแรงนั้นเข้าเป็นเนื้อเดียวกันจนกลายเป็นคลัมนาร์ (Columnar) ต่อไป โดยปราศจากช่องว่างบริเวณที่ขอบ



ภาพประกอบ 2.9 โนเดลของทอมสัน แสดงอิทธิพลของอุณหภูมิของแผ่นรองรับและ
ความดันก๊าซอาร์กอนที่มีต่อฟิล์มในระบบสปัตเตอริ่ง [45]

บริเวณ 2 (Zone 2)

ที่บริเวณ 2 จะมีค่า T/T_{m} อยู่ระหว่าง 0.5 - 0.8 ที่ความดันก๊าซระหว่างเคลื่อน 1 mTorr จะเกิดการแพร่ที่รอยต่อระหว่างขอบเกรน จนเกิดเป็นโครงสร้างคอลัมนาร์ที่เกิดจากการอยู่กันอย่างหนาแน่นของผลึกหั้ง hely ขนาดของเกรนและความหนาของพิล์มจะเพิ่มขึ้น เนื่องจากอุณหภูมิในการเคลื่อน และอัตราการเคลื่อนเพิ่ม (มีผลต่อความสามารถในการเคลื่อนที่ของพื้นผิวของอะตอม) และขนาดของคอลัมนาร์จะเพิ่มขึ้นเรื่อยๆ เมื่ออุณหภูมิเพิ่มขึ้น เนื่องจากการแพร่ที่บริเวณรอยต่อระหว่างขอบของคอลัมนาร์

บริเวณ 3 (Zone 3)

บริเวณนี้อุณหภูมิสูงสุด T/T_{m} อยู่ระหว่าง 0.8 - 1.0 ที่ความดันก๊าซระหว่างเคลื่อน 1 mTorr การแพร่จะมีค่าสูง และส่งผลต่อโครงสร้างสุดท้าย โครงสร้างที่ได้จะเป็นเกรนที่มีด้านเท้ากันหมดขนาดของคอลัมนาร์จะมีขนาดใหญ่ และความหนาแน่นเพิ่มขึ้นอย่างไรก็ตามที่อุณหภูมิสูงอาจทำให้เกิดผลึกใหม่ (Recrystallization) เนื่องจากพลังงานสะสมของความเครียด (Stored strain energy) ที่เกิดขึ้นตั้งแต่ตอนเคลื่อนเกรนที่เกิดขึ้นในขั้นตอนนี้จะเปลี่ยนจากคอลัมนาร์เป็นผลึกเดียว

2.2.5 การสปีดเตอริง [42-48]

กระบวนการการสปีดเตอริงเป็นกระบวนการที่อะตอมพิวหน้าของเป้าถูกทำให้หลุดออกด้วยการชนของอนุภาคพลังงานสูง โดยการแตกเปลี่ยนพลังงานและไมemenตัมระหว่างอนุภาคที่วิ่งเข้าชนกับอะตอมที่พิวหน้าเป้า ชี้ง Vehner และAnderson ได้อธิบายรูปแบบของการเกิดสปีดเตอร์ไว้ว่าเหมือนกับการชนกันของลูกบิลเดียดในลักษณะ 3 มิติ โดยอนุภาคที่วิ่งเข้าชนเปรียบเหมือนกับลูกแทง (cue ball) และอะตอมของเป้าเป็นลูกที่อยู่นิ่ง (racked ball) เมื่ออนุภาคพลังงานสูงวิ่งชนอะตอมของเป้าจะเกิดการถ่ายเทไมemenตัม ทำให้อะตอมของเป้าที่พิวหน้ามีพลังงานสูงขึ้น และถ้าพลังงานที่ได้รับมีค่ามากกว่าแรงยึดเหนี่ยวจะระหว่างอะตอมจะทำให้อะตอมของเป้าหลุดออกจากพิวหน้าและเคลื่อนลงบนแผ่นรองรับเกิดเป็นพิล์มบางขึ้น โดยอนุภาคที่วิ่งเข้าชนอาจมีประจุหรือเป็นกลางทางไฟฟ้าก็ได้ กระบวนการสปีดเตอริงประกอบด้วยส่วนสำคัญดังนี้

1. เป้าสารเคลื่อน สำหรับเป็นเป้าให้อนุภาคพลังงานสูงวิ่งเข้าชนจนเกิดกระบวนการสปีดเตอริง
2. อนุภาคพลังงานสูง สำหรับวิ่งเข้าชนเป้าแล้วทำให้อะตอมของเป้าหลุดออกจาก พิวหน้าโดยอนุภาคพลังงานสูงนี้ได้จากการเร่งอนุภาคภายใต้สนามไฟฟ้า ชี้งสามารถควบคุมระดับพลังงานของไอนอนได้ตามต้องการ เนื่องจากการชนกันระหว่าง 2 อนุภาคที่มีการถ่ายเทพลังงานและไมemenตัม ดีที่สุดเมื่อมวลของอนุภาคหั้งสองมีค่าใกล้เคียงกัน จึงมักนิยมเลือกเร่งไอนอนของก๊าซเชื่อยเข็นก๊าซ

อาร์กอน (Ar gas) ในสนาમไฟฟ้าเป็นอนุภาควิ่งเข้าชนเป้า โดยจะให้อัตราการปลดปล่อยเป้าสารเคลือบสูงเพียงพอกับความต้องการ

3. การผลิตอนุภาคพลังงานสูง อนุภาคพลังงานสูงนี้จะต้องถูกผลิตขึ้นมาอย่างต่อเนื่องเพื่อให้เกิดกระบวนการเคลือบพิล์มน้ำกันได้ความหนาตามความต้องการ ซึ่งในการสเป็ตเตอร์ริงทั่วไปนิยมผลิตอนุภาคพลังงานสูงจากกระบวนการไกโกลาดิสชาร์จ (glow discharge) ซึ่งทำภายใต้ความดันบรรยากาศด้วย โดยอาศัยการดิสชาร์จไฟฟ้าระหว่างขั้วคาโทดและอาโนดโดยการป้อนความต่างศักย์สูงทำให้ก๊าซเชื่อมแตกตัวเป็นไอออกอนในสภาพพลาสม่า (plasma ion) ซึ่งเป็นสภาพที่มีทั้งกําลุ่มไอออกอนอิเล็กตรอน อะตอมต่างๆอยู่ปะปนกันและพลาสมานี้ถูกเร่งด้วยสนามไฟฟ้าวิ่งเข้าชนเป้า ปรากฏการณ์นี้จะเกิดเป็นแสงสีม่วงการชนอย่างต่อเนื่องของไอออกอนในสภาพพลาสม่าที่กระทำต่ออะตอมของเป้า จะเกิดเป็นแสงสีม่วงมองเห็นด้วยตาเปล่าบริเวณส่วนกลางระหว่างขั้วอิเล็กโทรด ทั้งนี้เป็นผลมาจากการที่กําลุ่มอะตอมของก๊าซที่อยู่ในสภาพกระตุ้นเมื่อการคายพาลังงานออกมากในรูปแสง ซึ่งความยาวคลื่นของแสงที่ปรากฏจะมีค่าเฉพาะตัวขึ้นกับชนิดของอะตอมของก๊าซจากการชนเป้าด้วยพลาสม่าไอออกอนพลังงานสูง ทำให้อะตอมของเป้าที่ผ่านหลุดออกและได้อิเล็กตรอนทุติยภูมิ (secondary electron) จำนวนหนึ่ง ซึ่งอิเล็กตรอนทุติยภูมินี้จะถูกเร่งโดยสนามไฟฟ้าให้เคลื่อนที่ไปยังอาโนด โดยขณะที่วิ่งเข้าหาอาโนดนั้นอิเล็กตรอนทุติยภูมิจะชนกับอะตอมของก๊าซทำให้เกิดการไอออกอนซึ่งอะตอมของก๊าซเพิ่มขึ้นอีก อันเป็นกลไกที่ระบบรักษาสภาพดิสชาร์จด้วยตัวเอง

เมื่อไอออกอนพลังงานสูงวิ่งชนผิวน้ำหัวสุดจะเกิดปรากฏการณ์ต่างๆ ดังภาพประกอบ 2.10 ดังนี้

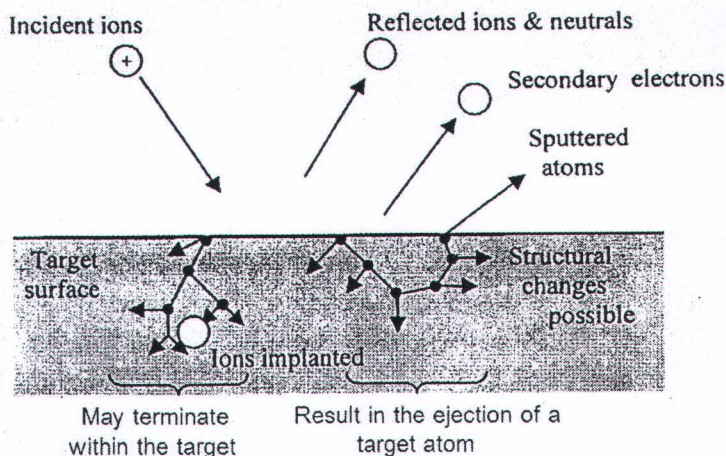
1. การสะท้อนที่ผิวน้ำของไอออกอน (Reflected ions and neutrals) ไอออกอนอาจสะท้อนกลับจากผิวน้ำซึ่งส่วนใหญ่จะสะท้อนออกมากในรูปของอะตอมที่เป็นกลางทางไฟฟ้าอันเกิดจากการรวมตัวกับอิเล็กตรอนที่ผิวเป้าสารเคลือบ

2. การปลดปล่อยอิเล็กตรอนชุดที่สอง (Secondary electron emission) จากการชนของไอออกอนจากทำให้เกิดการปลดปล่อยอิเล็กตรอนชุดที่สองจากเป้าสารเคลือบถ้าไอออกอนนั้นมีพลังงานสูงพอ

3. การฝังตัวของไอออกอน (Ion implantation) ไอออกอนที่วิ่งชนเป้าสารเคลือบนั้นไอออกอนอาจฝังตัวลงในสารเคลือบ โดยความลึกของการฝังตัวจะแปรผันโดยตรงกับพลังงานไอออกอน ซึ่งมีค่าประมาณ $10 \text{ \AA}/\text{พลังงานไอออกอน } 1 \text{ keV}$ สำหรับไอออกอนของก๊าซอาร์กอนที่ฝังตัวในแผ่นทองแดง

4. การเปลี่ยนโครงสร้างของผิวสารเคลือบ การชนของไอออกอนบนผิวสารเคลือบทาให้เกิดการเรียงตัวของอะตอมที่ผิวสารเคลือบใหม่ และเกิดความบกพร่องของโครงสร้างผลึก (Lattice defect)

5. การสปัตเตอร์ การชนของไอโอนที่ผิวน้ำเป้าอาจทำให้เกิดกระบวนการการชนแบบต่อเนื่องกันทำให้เกิดการปลดปล่อยอะตอมจากเป้าสารเคลือบซึ่งเรียกว่ากระบวนการการสปัตเตอร์วิง

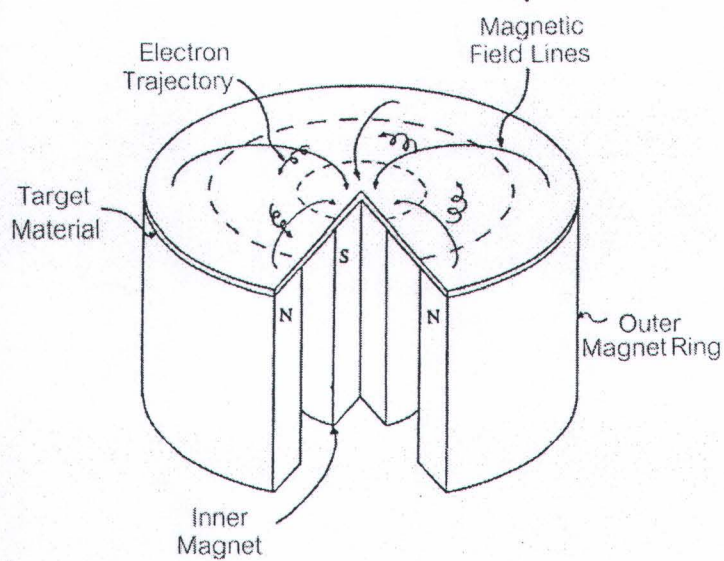


ภาพประกอบ 2.10 อันตรภัยระหว่างไอโอนและผิวน้ำเป้าสารเคลือบ [48]

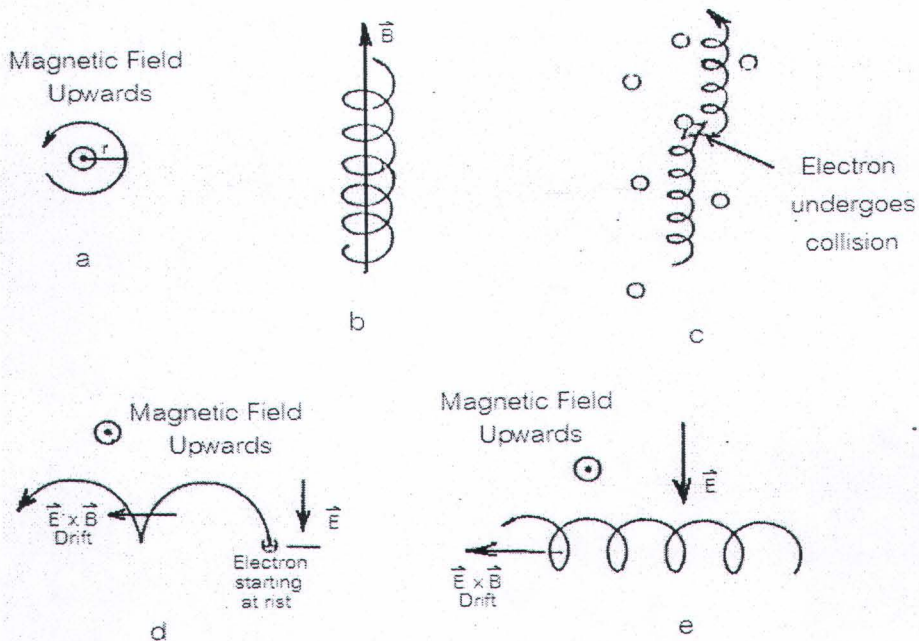
2.2.6 ระบบการเคลือบฟิล์มแบบ ดีซี แมกนีตรอนสปัตเตอร์ [43,44]

การเคลือบฟิล์มบางด้วยวิธีสปัตเตอร์ภายในได้ระบบไอลาวาดิสชาร์จและใช้สนามแม่เหล็กช่วยในการเพิ่มประสิทธิภาพในการสปัตเตอร์ โดยทั่วไปแบ่งออกเป็น 2 ประเภทหลักๆ คือ ดีซี แมกนีตรอน สปัตเตอร์ และอาเซฟ แมกนีตรอน สปัตเตอร์ ซึ่งระบบดีซี แมกนีตรอน สปัตเตอร์ เป็นการสปัตเตอร์ โดยใช้ไฟฟ้ากระแสตรง หมายความว่าการสปัตเตอร์เคลือบฟิล์มบางที่เป็นโลหะ และมีอัตราการเคลือบฟิล์มสูง ส่วนระบบอาเซฟ แมกนีตรอน สปัตเตอร์นั้นสปัตเตอร์โดยใช้ไฟฟ้ากระแสสลับ หมายความว่าการสปัตเตอร์เคลือบฟิล์มบางที่เป็นสารกึ่งตัวนำหรืออุกกลาง

อัตราการเกิดสปัตเตอร์นั้น จะขึ้นกับผลคุณระหว่างยีลด์และปริมาณไอโอนที่วิ่งชนเป้าสารเคลือบ ดังนั้นการเพิ่มอัตราการสปัตเตอร์นั้นนอกจากจะทำได้โดยการเพิ่มยีลด์แล้ว ยังทำได้โดยการเพิ่มปริมาณไอโอนที่วิ่งเข้าชนเป้าสารเคลือบ ซึ่งในระบบ ดีซี สปัตเตอร์ ปกตินั้น ทำได้เพียงการเพิ่มแรงดันไฟฟ้าระหว่างอิเล็กโทรด หรือเพิ่มความดัน ซึ่งจะมีขีดจำกัดสูงสุดที่ ความหนาแน่นกระแสประมาณ 1 mA/cm^2 และความดันประมาณ $1.33 \times 10^{-5} \text{ mbar}$ นอกจากนี้ยังพบว่าในระบบ ดีซี สปัตเตอร์ ทั่วไปอัตราการเคลือบของก้าชที่จะเกิดการไอโอนในรูมีค่าต่ำกว่า 1% นอกจากนี้ยังมีข้อเสียเมื่อความดันสูงขึ้นจะทำให้ปริมาณก้าชที่แทรกตัวในฟิล์มบางที่ได้มีค่าสูงด้วย



ภาพประกอบ 2.11 การเคลื่อนที่ของอนุภาคอิเล็กตรอนในสนามแม่เหล็ก [49]



ภาพประกอบ 2.12 การเคลื่อนที่ของอนุภาคในสนามต่างๆ โดยที่ภาพ (a) (b) และ (c) เป็นการเคลื่อนที่ของอนุภาคประจุในสนามแม่เหล็กอย่างเดียว ส่วน (d) และ (e) เป็นการเคลื่อนที่ของอนุภาคประจุในสนามแม่เหล็กและสนามไฟฟ้าร่วมกันในลักษณะต่างๆ [45]

ต่อมาเมื่อการพัฒนาระบบใหม่เรียกว่า ระบบดีซี แมกนีตรอน สปีดเตอริง ซึ่งเป็นการใช้สนามแม่เหล็กช่วย โดยจ่ายสนามแม่เหล็กให้มีทิศทางกับผิวน้ำเปล่าสารเคลื่อนและมีทิศตั้งฉากกับสนามไฟฟ้าซึ่งช่วยเพิ่มระยะทางเดินของอิเล็กตรอนให้ยาวขึ้น โดยจำนวนของสนามแม่เหล็กทำให้อิเล็กตรอนเคลื่อนที่เป็นทางโค้งดังภาพประกอบ 2.11 ทำให้การไอออกในรูนี้ของจากการชนระหว่างอิเล็กตรอนกับอะตอมก้าวเฉื่อยมีค่าสูงขึ้นซึ่งจะทำให้อัตราการสปีดเตอร์สูงขึ้นด้วย ทั้งนี้จากการศึกษาการเคลื่อนที่ของอิเล็กตรอนในสนามแม่เหล็ก พบว่าถ้าอิเล็กตรอนมีทิศทางการเคลื่อนที่ตั้งฉากกับสนามแม่เหล็กอิทธิพลของสนามแม่เหล็กจะทำให้อนุภาคประจุนั้นเคลื่อนที่ในแนววงกลมด้วยรัศมี(r) ดังภาพประกอบ 2.12(a)

$$r = \frac{3.37(W)^{\frac{1}{2}}}{B} \quad (2.1)$$

- เมื่อ r คือ รัศมีการหมุนของอิเล็กตรอน
 W คือ พลังงานของอิเล็กตรอนในหน่วย eV
 B คือ ความเข้มสนามแม่เหล็กในหน่วย gauss

ถ้าพัลส์งานเฉลี่ยของอิเล็กตรอนในแนวตั้งฉากกับสนามแม่เหล็กมีค่า 10 eV และสนามแม่เหล็กมีค่าความเข้ม 100 gauss รัศมีการหมุนมีค่าเท่ากับ 0.1 cm ด้วยความถี่การหมุนเท่ากับ 2.8×10^8 Hz ภาพประกอบ 2.12(b) แสดงอิเล็กตรอนมีค่าวิเร็วส่วนหนึ่งในแนวขวางกับสนามแม่เหล็ก อิเล็กตรอนจะเคลื่อนที่หมุนควรถบแนวสนามแม่เหล็กด้วยจำนวนเส้นแรงคงที่ค่านั้น ระหว่างนี้ถ้า อิเล็กตรอนชนกับอะตอมก้าว ภาพประกอบ 2.12(c) แนวการหมุนควรถบสนามแม่เหล็กจะเปลี่ยนไป ถ้าอิเล็กตรอนเคลื่อนที่ภายในสนามแม่เหล็กและสนามไฟฟ้าซึ่งมีทิศทางตั้งฉากกัน จำนวนของสนามทั้งสองนอกจากจะทำให้อิเล็กตรอนเคลื่อนที่ในแนวโค้ง แล้วยังสามารถทำให้เกิดการเคลื่อนที่ในแนวตั้งฉากกับสนามแม่เหล็กและสนามไฟฟ้าเรียกว่าการเคลื่อนที่แบบเลื่อน (Drift motion) มีค่าเท่ากับ

$$v_{drift} = \frac{10^8 E}{B} \quad (2.2)$$

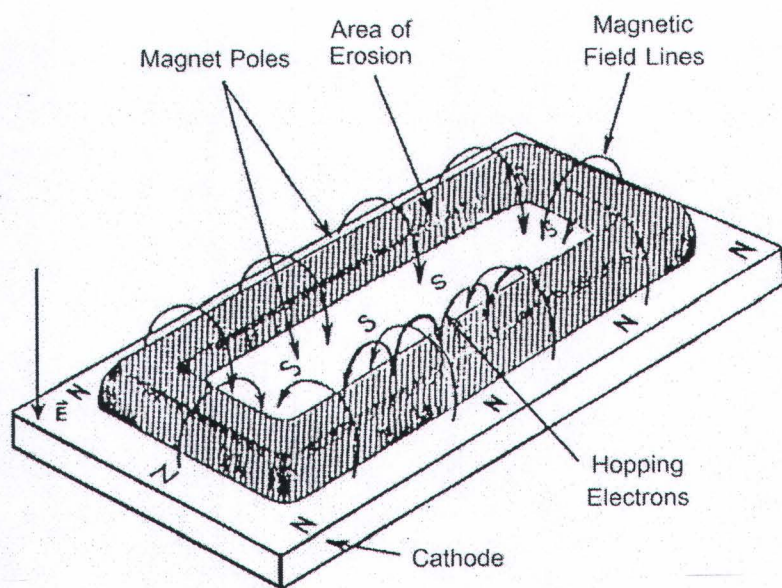
- เมื่อ v_{drift} คือ ความเร็ว rotary (Drift velocity).
 E คือ สนามไฟฟ้าหน่วยเป็น V/cm
 B คือ ความเข้มสนามแม่เหล็กหน่วยเป็น gauss

กรณีสนามไฟฟ้าบริเวณดาร์คสเปซมีค่าประมาณ $1,000 \text{ V/cm}$ และสนามแม่เหล็ก 100 gauss จะให้ค่าความเร็วในการเคลื่อนเท่ากับ 10^7 m/s ซึ่งเป็นค่าที่ค่อนข้างสูงกรณีพลังงานเริ่มต้นของอิเล็กตรอนมีค่าน้อยเมื่อเทียบกับพลังงานที่ได้รับจากสนามไฟฟ้า การเคลื่อนที่ของอิเล็กตรอนจะเป็นไซคลอยด์ (Cycloid) ดังภาพประกอบ 2.12(d) ถ้าอิเล็กตรอนมีพลังงานเริ่มต้นสูงกว่าพลังงานที่ได้รับจากสนามไฟฟ้า การเคลื่อนที่แบบเดือนจันทร์อยู่ในแนววงกลมซ้อนกันดังแสดงในภาพประกอบ 2.12(e) พฤติกรรมที่ปรากฏต่ออิเล็กตรอนนี้จะเด่นชัดมาก ถึงแม้จะใช้สนามแม่เหล็กมีค่าน้อยๆ ระหว่าง $50-500 \text{ gauss}$ แต่จะมีผลในการเบี่ยงเบนแนวทางเดินของไอออน (ซึ่งมีมวลสูงกว่าอิเล็กตรอนมาก) อย่างไม่เด่นชัด

ระบบสปัตเตอริงที่ใช้สนามแม่เหล็กช่วยเพิ่มปริมาณไอออนนั้น ถ้าสนามแม่เหล็กมีทิศทางขนานกับสนามไฟฟ้าจะเรียกว่า สนามตามยาว (Longitudinal field) จะทำให้ประสิทธิภาพการเพิ่มไอออนไม่สูงนักแต่ไม่ทำให้แนวการเกิดโกลวิดิสชาร์จเปลี่ยนแปลงไปและยังสามารถรักษาความสม่ำเสมอของพิล์มนบางไวย์ได้ การนีของสนามแม่เหล็กตั้งฉากกับสนามไฟฟ้าเรียกว่า สนามตามขวาง (Transverse field) โดยกระบวนการเพิ่มปริมาณไอออนเกิดขึ้นดังนี้ หลังจากที่ไอออนbaugh กับเป้าสารเคลือบและเกิดการปลดปล่อยอิเล็กตรอนชุดที่สองออกมานอก อิเล็กตรอนชุดที่สองจะเคลื่อนที่ในลักษณะเดียวกับภาพประกอบ 2.12(d) ทำให้อิเล็กตรอนถูกกักอยู่ในบริเวณสนามแม่เหล็กใกล้ค่าโหลด และดริฟท์ (drift) ตามแนวผิวน้ำของค่าโหลด (ภาพประกอบ 2.13) ทำให้อิเล็กตรอนมีโอกาสชนกับไมเลกุลก้าบริเวณผิวน้ำเป้าสารเคลือบมากขึ้นจนเพิ่มปริมาณไอออนสูงมากใกล้ผิวน้ำเป้าสารเคลือบ อิเล็กตรอนตัวใดที่ไม่ชนไมเลกุลของก้าจะเดินทางเป็นวงโค้งเข้าชนเป้าสารเคลือบและผลิตอิเล็กตรอนชุดที่สองมากขึ้นเป็นผลทำให้ไอออนถูกผลิตในปริมาณสูงมากและเกิดใกล้ผิวค่าโหลด ถ้าใช้สนามแม่เหล็กกับแมgnีตอรอนสปัตเตอริง (Planar magnetron sputtering) และถ้าใช้สนามแม่เหล็กกับระบบที่สปัตเตอริงที่ใช้เป้าแบบแผ่นราบจะเรียกว่า พลานาร์แมgnีตอรอนสปัตเตอริง (Planar magnetron sputtering)

การเพิ่มไอออนสูงมากในระบบแมgnีตอรอนและพลาสม่าที่เกิดขึ้นจะเข้มมากบริเวณเป้าสารเคลือบทาให้อัตราการสปัตเตอร์ของระบบนี้มีค่าสูงขึ้นที่ความดันในระบบจะมีค่าต่ำ แรงดันไฟฟ้าระหว่างอิเล็กโทรดมีค่าเกือบคงที่ที่ทุกค่าของอัตราการสปัตเตอร์ แมgnีตอรอนสปัตเตอริงท่องระบบออกหัวไปมีอัตราการสปัตเตอร์สูงกว่า $1.0 \mu\text{m/min}$ และมีอัตราเคลือบสูงกว่า $0.2 \mu\text{m/min}$ ความหนาแน่นกระแสที่ผิวค่าโหลด ประมาณ 20.0 mA/cm^2 แรงดันไฟฟ้าระหว่างอิเล็กโทรดมีค่าระหว่าง $300-800 \text{ V}$ ที่ความดันประมาณ $5.33 \times 10^{-5} \text{ mbar}$ ซึ่งแสดงถึงการเพิ่มประสิทธิภาพการเคลือบสูงขึ้นกว่า 10 เท่าตัว นอกจากนี้ยังสามารถขยายสเกลใช้กับระบบสปัตเตอริงขนาดใหญ่ได้ง่าย เมื่อออแบบใช้งานร่วมกับไตรโอดสปัตเตอริง ระบบสามารถเคลือบได้ที่ความดันต่ำถึง 10^{-5} mbar ส่วนข้อเสียของระบบ

แมgnีตرونสปัตเตอริง คือแรงดันไฟฟ้าระหว่างอิเล็กโทรดมีค่าต่ำ จึงมีข้อจำกัดในการเคลื่อนวัสดุบางชนิดที่ต้องการแรงดันไฟฟ้าสูง เพื่อควบคุมคุณภาพพิล์มแต่มีข้อได้เปรียบที่ระบบแมgnีตرونสปัตเตอริงนี้สามารถควบคุมอิเล็กตรอนส่วนใหญ่ให้อยู่ภายในกรอบสนามแม่เหล็ก จึงมีอิเล็กตรอนที่หลุดออกมากและวิ่งเข้าสู่แผ่นรองรับปริมาณน้อย จึงลดปัญหาความร้อนบนแผ่นรองรับเนื่องจากการชนของอิเล็กตรอนลงได้อย่างมาก



ภาพประกอบ 2.13 การจัดสนามแม่เหล็กและแนวการกัดกร่อนของเป้าสารเคลื่อน
ในระบบพลาณาร์แมgnีตرون สปัตเตอริง [50]



2.3 การวิเคราะห์สมบัติของฟิล์ม

2.3.1 สมบัติทางไฟฟ้า [51]

สมบัติทางไฟฟ้าที่รับประ俗ด้วยสภาพต้านทานไฟฟ้า ความคล่องตัวของพานะและความหนาแน่นของพานะซึ่งหาได้จากปรากฏการณ์ฮอลล์ (Hall effect)

1) สภาพต้านทานไฟฟ้า

กระแสไฟฟ้าไหลในตัวนำที่เป็นของแข็งที่มีความต่างของศักย์ไฟฟ้า โดยปกติความหนาแน่นกระแส J เป็นสัดส่วนกับสนามไฟฟ้า E ;

$$J = \frac{E}{\rho} = \sigma E \quad (2.3)$$

เมื่อ ρ คือ สภาพต้านทานไฟฟ้า และ σ คือ สภาพนำไฟฟ้า สมการ (2.3) เป็นสมการที่แสดงกฎของโอล์ม ในภาพประกอบ 2.14 แสดงการวัดสภาพต้านทานไฟฟ้า โดยที่มีกระแส I ผ่านแท่งตัวนำที่มีภาคตัดขวางคงที่ A และความแตกต่างของศักย์ไฟฟ้า $(V_2 - V_1)$ ซึ่งถูกวัดระหว่าง 2 จุด ความหนาแน่นกระแส J ในแท่งตัวนำเท่ากับ I/A และสนามไฟฟ้าเป็น $\frac{(V_2 - V_1)}{L}$ และ

$$J = \frac{I}{A} = \frac{\sigma (V_2 - V_1)}{L} \quad (2.4)$$

กฎของโอล์มโดยทั่วไปเขียนสมการนำไฟฟ้าได้เป็น

$$\sigma = \frac{J}{E} = \frac{(I/A)}{(V_2 - V_1)/L} \quad (2.5)$$

เมื่อ $(V_2 - V_1) = IR$ เขียนสมการ (2.5) ได้เป็น

$$\sigma = \frac{(I/A)}{IR/L} \quad (2.6)$$

$$\sigma = \frac{L}{RA} \quad (2.7)$$

สมการความต้านทานไฟฟ้าของแท่งตัวนำยาว L ในภาพประกอบ 2.14 คือ

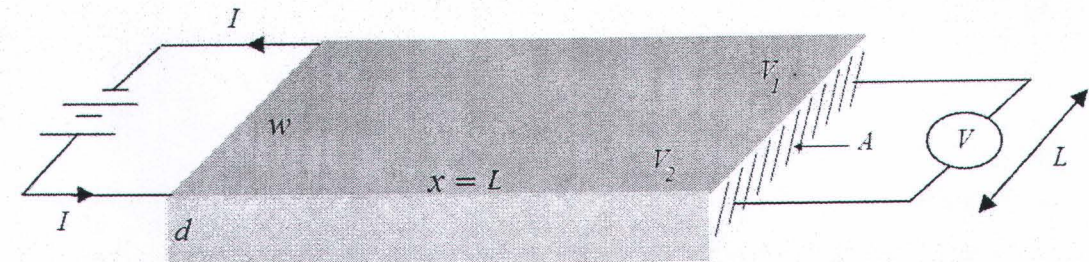
$$R = \frac{L}{\sigma A} = \frac{\rho L}{A} \quad (2.8)$$

เมื่อพื้นที่ภาคตัดขวาง A มีค่าเท่ากับ wd และ $\rho = 1/\sigma$ จากสมการ (2.8) จึงเขียนสมการใหม่ได้เป็น (Streetman, Ben G. 1995: 85)

$$R = \frac{\rho L}{wd} = \frac{L}{wd} \frac{1}{\sigma} \quad (2.9)$$

เมื่อ R คือความต้านทานไฟฟ้า , L คือความยาว , w คือความกว้าง และ d คือความหนา

ความต้านทานไฟฟ้าขึ้นอยู่กับรูปทรงของวัสดุและสภาพต้านทานไฟฟ้าของวัสดุชนิดเดียวกัน จะมีค่าเท่ากัน ความต้านทานไฟฟ้ามีหน่วยเป็นโอม (Ω) สภาพต้านทานไฟฟ้ามีหน่วยเป็นโอม เช่นติเมตร (Ωcm) และสภาพนำไฟฟ้ามีหน่วยเป็นต่อโอมเชนติเมตร



ภาพประกอบ 2.14 การวัดสภาพการนำไฟฟ้าของตัวอย่างที่มีพื้นที่ภาคตัดขวาง A [51]

2) ความคล่องตัวของพาหะ (Mobility ; μ)

ความคล่องตัวของพาหะ (Mobility ; μ) เป็นอัตราส่วนของความเร็วroyเลื่อน (Drift velocity) กับ สนามไฟฟ้า E ;

$$\mu = \frac{V_{drift}}{E} \quad (2.10)$$

โดยความคล่องตัวของพาหะอิเล็กตรอนแทนด้วย μ_e และความคล่องตัวของไฮโลแทนด้วย μ_h

สำหรับอิเล็กตรอนที่ในสนามไฟฟ้า E สามารถหาสภาพนำไฟฟ้าได้จากสมการ 2.11

$$\sigma_e = n_e e \mu_e \quad (2.11)$$

เมื่อ n_e คือความหนาแน่นของอิเล็กตรอนอิสระ

ในการนี้ของสารกึ่งตัวนำ เมื่ออิเล็กตรอนและไฮโลนำกระแสไฟฟ้า สภาพนำไฟฟ้าเขียนได้เป็น

$$\sigma = n_e e \mu_e + n_h e \mu_h \quad (2.12)$$

เมื่อ n_h เป็นปริมาณความหนาแน่นของไฮโล

3) ความหนาแน่นของพาหะ (Carrier concentration ; n)

ความหนาแน่นของพาหะ (Carrier concentration ; n) ในสารกึ่งตัวนำบริสุทธิ์ที่อุณหภูมิคงที่ ภายใต้สภาวะสมดุล [52] ผลคูณของความหนาแน่นของอิเล็กตรอนอิสระกับไฮโล มีค่าดังนี้

$$n_0 p_0 = n_i^2 \quad (2.13)$$

เมื่อ n_i คือความหนาแน่นของพาหะในสารกึ่งตัวนำบริสุทธิ์ (Intrinsic semiconductor)

ในสารกึ่งตัวนำไม่บริสุทธิ์ (Extrinsic semiconductor) พาหะที่มีความหนาแน่นมาก จะเป็น พาหะหลัก (Majority carriers) และพาหะที่มีความหนาแน่นน้อยจะเป็นพาหะรอง (Minority carriers)

ความหนาแน่นของอิเล็กตรอนในสารกึ่งตัวนำชนิดเด็น (n) จะแทนด้วยสัญลักษณ์ n_n และความหนาแน่นของ iod ในสารกึ่งตัวนำชนิดเด็น (n) จะแทนด้วยสัญลักษณ์ p_n ในทำนองเดียวกันความหนาแน่นของ iod ในสารกึ่งตัวนำชนิดพี (p) จะแทนด้วยสัญลักษณ์ p_p และความหนาแน่นของอิเล็กตรอนในสารกึ่งตัวนำชนิดพี (p) จะแทนด้วย สัญลักษณ์ n_p

จากความจริงที่ว่า โครงสร้างผลึกจะต้องมีประจุเป็นกลาง ดังนั้น ผลรวมของความหนาแน่นของประจุบวกและประจุลบในหนึ่งหน่วยปริมาตรจะต้องเท่ากับศูนย์ สำหรับสารกึ่งตัวนำไม่บริสุทธิ์นั้นจะมีประจุอยู่ 2 ชนิด คือ ไอออนที่ไม่เคลื่อนที่ และพานะนำประจุที่เคลื่อนที่ ไอออนที่ไม่เคลื่อนที่ได้แก่ อะตอมของสารเจือปนที่เป็นอะตอมตัวให้อิเล็กตรอน (Donor) และตัวรับ (Acceptor) (ธาตุในหมู่ที่ 3A หรือ 5A)

เนื่องจากสารกึ่งตัวนำต้องมีประจุเป็นกลาง ดังนั้นผลรวมของความหนาแน่นของประจุลบจะต้องเท่ากับผลรวมของความหนาแน่นของประจุบวก ดังสมการ

$$N_a + n = N_d + p \quad (2.14)$$

เมื่อ N_a คือ ความหนาแน่นของตัวรับ (Acceptor)

N_d คือ ความหนาแน่นของตัวให้ (Donor)

n คือ จำนวนอิเล็กตรอน

p คือ จำนวน iod

สำหรับสารกึ่งตัวนำไม่บริสุทธิ์ชนิดเด็น (n) นั้น เนื่องจากไม่มีไอออนตัวรับ (Acceptor ions) ที่มีประจุลบ ดังนั้น N_a จะเท่ากับศูนย์ และจำนวนอิเล็กตรอนจะมากกว่าจำนวน iod มาก ($n > p$) ดังนั้นสมการ (2.14) จึงอาจเขียนใหม่ได้ดังนี้

$$n_n \approx N_d \quad (2.15)$$

จากสมการ (2.15) จะเห็นได้ว่าความหนาแน่นของอิเล็กตรอนในสารกึ่งตัวนำไม่บริสุทธิ์ชนิดเด็น (n) อาจประมาณได้เท่ากับความหนาแน่นของอะตอมของตัวให้ (Donor) ที่เจือเข้าไป ส่วนความหนาแน่นของ iod ในสารกึ่งตัวนำไม่บริสุทธิ์ชนิดเด็น (n) อาจประมาณได้จากสมการ (2.13) ดังนี้

$$p_n = \frac{n_i^2}{n_n} \approx \frac{n_i^2}{N_d} \quad (2.16)$$

สำหรับสารกึ่งตัวนำไม่บริสุทธิ์ชนิดพี (p) ความหนาแน่นของ iod ในสารกึ่งตัวนำ อาจประมาณได้เท่ากับความหนาแน่นของอะตอมของตัวรับ (Acceptor) ที่เจือเข้าไป

$$p_p \approx N_a \quad (2.17)$$

และความหนาแน่นของอิเล็กตรอนประมาณได้จากสมการ

$$n_p = \frac{n_i^2}{p_p} \approx \frac{n_i^2}{N_a} \quad (2.18)$$

2.3.2. สมบัติทางแสง

1) สมบัติการดูดกลืนแสง

แสงเป็นคลื่นแม่เหล็กไฟฟ้าซึ่งความถี่หนึ่ง ซึ่งสามารถมีปฏิกรรมกับสารได้และสามารถใช้ทฤษฎีคลื่นแม่เหล็กไฟฟ้าของแมกซ์เวลล์ (Maxwell) อธิบายปรากฏการณ์ทางแสงต่างๆ ที่เกิดขึ้นในเนื้อสารได้ [53] จากทฤษฎีนี้ทำให้สามารถอธิบายสมบัติเชิงแสงของตัวกลาง ซึ่งเป็นตัวบอกถึงการหน่วง การยินยอม หรือการดูดกลืนคลื่นแม่เหล็กไฟฟ้าที่ผ่านเข้ามาในเนื้อสารนั้น สมบัติดังกล่าวคือดัชนีหักเห (Reflective index) หรือค่าคงที่ไดอิเล็กทริก (Dielectric constant) ซึ่งถ้ารู้สมบัติอย่างหนึ่งจะรู้สมบัติอีกอย่างหนึ่งได้

สารสามารถดูดกลืนแสงได้ นิยามค่าสัมประสิทธิ์การดูดกลืนแสงในระดับมนุษย์ (Macroscopic) คือสัดส่วนของความเข้มแสงที่ลดลงต่อหนึ่งหน่วยระยะทางของตัวกลางดังสมการ

$$\alpha = \frac{-dI/I}{dx} \quad (2.19)$$

โดยที่ I คือความเข้มแสงที่ระยะทาง x โดย ในตัวกลาง

เนื่องจากความเข้มแสงเป็นปฏิภาคโดยตรงกับกำลังสองของศักย์เวกเตอร์ A ซึ่งสัมประสิทธิ์การดูดกลืนแสง α จะสัมพันธ์กับสัมประสิทธิ์อึดทิ้งคืน (Extinction coefficient : K) ดังสมการ

$$\alpha = \frac{4\pi K}{\lambda} \quad (2.20)$$

เมื่อ λ คือความยาวคลื่นแสง

เมื่อขยายแสงเข้าไปในตัวกลาง โดยความเข้มแสงจะลดลงเมื่อแสงเดินทางลึกเข้าไปในเนื้อสาร เนื่องจากอิเล็กตรอนดูดกลืนพลังงานแสงที่ผ่านเข้าไปในตัวกลางแล้วย้ายสถานะพลังงานไปอยู่ในระดับที่สูงขึ้นไป ลักษณะการดูดกลืนแสงของตัวกลางแต่ละชนิดไม่เหมือนกัน การดูดกลืนแสงของสารกึ่งตัวนำสามารถอธิบายได้ด้วยทฤษฎีแบบพลังงานของของแข็ง

จากทฤษฎีแบบพลังงานของของแข็ง การดูดกลืนแสงจะเกิดขึ้นในสารกึ่งตัวนำได้ เมื่อพลังงานของแสงเท่ากับผลต่างของระดับพลังงานพอดี ขอบการดูดกลืนเพ็นท์รูน (Fundamental absorption edge) นิยามโดยพลังงานที่น้อยที่สุดของแสงที่สามารถทำให้อิเล็กตรอนย้ายสถานะพลังงานจากจุดสูงสุดของแบบว่าเดนซ์ไปยังจุดต่ำสุดของแบบการนำ การดูดกลืนนี้จะขึ้นอยู่กับโอกาสในการย้ายสถานะพลังงานของอิเล็กตรอน ซึ่งสามารถแบ่งการย้ายสถานะของการย้ายอิเล็กตรอนได้ 2 แบบ ได้แก่ การดูดกลืนแสงเนื่องจากอิเล็กตรอนย้ายสถานะในแบบพลังงานเดียวกัน (Intraband transition) และการดูดกลืนแสงเนื่องจากอิเล็กตรอนย้ายสถานะไปยังแบบพลังงานอื่น (Band-to-Band transition) ดังรายละเอียดต่อไปนี้

1. การดูดกลืนแสงเนื่องจากอิเล็กตรอนย้ายสถานะในแบบพลังงานเดียวกัน (Intraband Transition)

ปกติในแบบพลังงานที่มีอิเล็กตรอนบรรจุอยู่เต็มแล้ว จะเกิดการย้ายสถานะของ อิเล็กตรอนเพิ่มอีกไม่ได้ แต่สำหรับแบบพลังงานที่ยังมีสถานะพลังงานที่ว่างอยู่ เช่นในแบบนำ สามารถเกิดการย้ายสถานะได้ โดยอิเล็กตรอนจะดูดกลืนพลังงานแสงแล้วย้ายไปอยู่ที่ระดับสถานะ พลังงานที่สูงขึ้นซึ่งอาจเกิดได้หลายกรณี เช่น การดูดกลืนแสงของอิเล็กตรอนอิสระ (Free-carrier absorption) เป็นต้น

2. การดูดกลืนแสงเนื่องจากอิเล็กตรอนย้ายสถานะไปยังแบบพลังงานอื่น (Band-to-Band Transition)

การดูดกลืนแสงในกรณีนี้มีได้หลายลักษณะ ในที่นี้จะกล่าวถึงกรณีสำคัญและสามารถ สังเกตได้เด่นชัด ได้แก่ การดูดกลืนแสงฟื้นรู้สาน เมื่ออิเล็กตรอนย้ายสถานะพลังงานจากแบบ瓦เลนซ์ ขั้นซึ่งว่างแบบพลังงานไปยังแบบนำ เรียกว่าการดูดกลืนแสงหลัก พลังงานของโฟตอนที่ถูกดูดกลืน ในกรณีนี้จะเท่ากับค่าซึ่งว่างแบบพลังงานโดยประมาณ ซึ่งสามารถแบ่งการดูดกลืนนี้ออกเป็น 2 แบบ ขึ้นกับลักษณะของการย้ายสถานะ และโครงสร้างแบบพลังงานของสาร ได้แก่ การย้ายสถานะแบบตรง (Direct transition) และการย้ายสถานะแบบไม่ตรง (Indirect transition) ดังภาพประกอบ 2.15 ในการ ทดลองวัดการดูดกลืนแสงของสารกึ่งตัวนำ สามารถพบการดูดกลืนแสงทั้งสองลักษณะ ขึ้นกับลักษณะ โครงสร้างแบบพลังงานของสารกึ่งตัวนำนั้นๆ

การย้ายสถานะพลังงานแบบตรง เป็นการย้ายสถานะพลังงานจากแบบ瓦เลนซ์ไปยัง แบบการนำ โดยมีค่า \vec{k} (Wave vector). เดียวกัน ปรากฏเด่นชัดในสารที่มีซึ่งว่างแบบพลังงานเป็น แบบตรง โดยการใช้แบบจำลองโครงสร้างแบบพลังงานที่เป็นแบบพาราโบลาอย่างง่าย (Simple parabolic band) โดยสามารถหาความสัมพันธ์ของการดูดกลืนแสงในกรณีนี้ได้

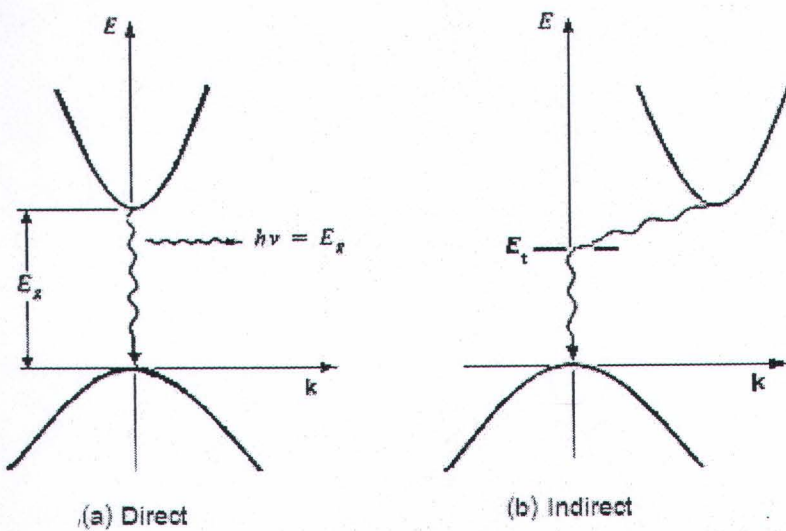
$$\alpha_d h\nu = \begin{cases} A(h\nu - E_g)^{1/2}, & h\nu > E_g \\ 0, & h\nu < E_g \end{cases} \quad (2.21)$$

เมื่อ ν คือ ความถี่ของแสง

h คือ ค่าคงที่ของแพลนค์ (Planck's constant)

A คือ ค่าคงที่

E_g คือ ค่าซึ่งว่างแบบพลังงาน



ภาพประกอบ 2.15 ลักษณะของการย้ายสถานะพลังงานของสาร (a) การย้ายสถานะแบบตรง (Direct transition) และ (b) การย้ายสถานะแบบไม่ตรง (Indirect transition) [40]

สำหรับการย้ายสถานะพลังงานแบบยอมรับได้ (Allowed transition) ความสัมพันธ์นี้จะให้ได้ที่บริเวณใกล้กับขอบการดูดกลืนพื้นฐาน (Fundamental absorption edge) เท่านั้น

การย้ายสถานะพลังงานแบบไม่ตรง เป็นการย้ายสถานะพลังงานจากແຕบ瓦เลนซ์ไปยังແນน้ำ โดยมีค่า k เปลี่ยนไป ซึ่งการย้ายสถานะแบบนี้เกิดจากการช่วยเหลือของโฟโนน (Phonon assisted) ซึ่งสามารถหาความสัมพันธ์ของค่าสัมประสิทธิ์การดูดกลืนแสงกับความถี่ของแสงในกรณีนี้ได้

$$\alpha_1 h\nu = \begin{cases} B(h\nu - E_g)^2, & h\nu > E_g \\ 0, & h\nu < E_g \end{cases} \quad (2.22)$$

เมื่อ B คือค่าคงที่

2) การวัดสัมประสิทธิ์การดูดกลืนแสง

ค่าสัมประสิทธิ์การดูดกลืนแสงที่ความยาวคลื่นต่างๆ สามารถนำมาหาขนาดและประเภทซึ่งว่างແນบพลังงานได้ [53] เมื่อมีพลังงานโฟตอนต่ำกว่าสารตัวอย่าง แสดงดังภาพประกอบ 2.16

ถ้าให้ความเข้มแสงต่ำกระทบเป็น I_0 ความเข้มของแสงที่สะท้อนออกมานี้เป็น I_r และความเข้มของแสงที่ทะลุผ่านเป็น I_t จะได้ความสัมพันธ์ของความเข้มแสงดังกล่าว ในรูปของการสะท้อน (Reflection : R) และการส่งผ่าน (Transmission : T) ดังนี้

$$R = \frac{I_r}{I_0} = \frac{(n-1)^2 + K^2}{(n+1)^2 + K^2} \quad (2.23)$$

$$T = \frac{I_t}{I_0} = \frac{(1-R)^2 e^{(-\alpha d)}}{1 + R^2 e^{(-2\alpha d)}} \quad (2.24)$$

เมื่อ d คือ ความหนาของฟิล์ม ในกรณีที่ชั้นสารมีความหนาเหมาะสมที่ทำให้ $R^2 e^{(-2\alpha d)} \ll 1$ สมการที่ (2.24) สามารถเขียนใหม่ได้เป็น

$$\frac{I_t}{I_0} = (1-R)^2 e^{(-\alpha d)} \quad (2.25)$$

โดยทั่วไปค่าสัมประสิทธิ์การสะท้อนจะเปลี่ยนไปน้อยมากเมื่อเทียบกับพลังงานไฟต่อนที่มาต่ำกระทบ ดังนั้นเทอม $(1-R)^2$ ประมาณว่าเป็นค่าคงที่ ดังนั้นสามารถคำนวณค่า α ได้ดังสมการ

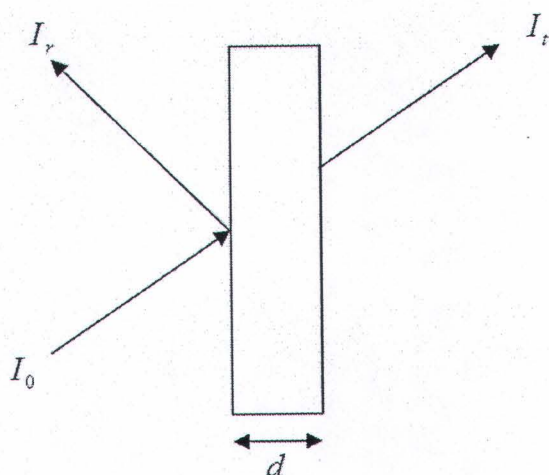
$$\alpha = \frac{1}{d} \ln \left[\frac{I_0}{I_t} \right] + A \quad (2.26)$$

เมื่อ A คือค่าคงที่

ถ้ากำหนดความเข้มเป็น I_0 เมื่อแสงผ่านสารตัวอย่างกำหนดความเข้มแสงที่วัดได้เป็น

$$I_t = I_0 e^{-\alpha d} \quad (2.27)$$

เมื่อ α คือ สัมประสิทธิ์การดูดกลืนแสง (Absorbtion coefficient)



ภาพประกอบ 2.16 แสดงการทดลองวัดสัมประสิทธิ์การดูดกลืนแสง [54]

ดังนั้นจะได้ค่าการส่งผ่านแสง (Transmission : T)

$$T = I_t / I_0 = e^{-\alpha d} \quad (2.28)$$

จะได้

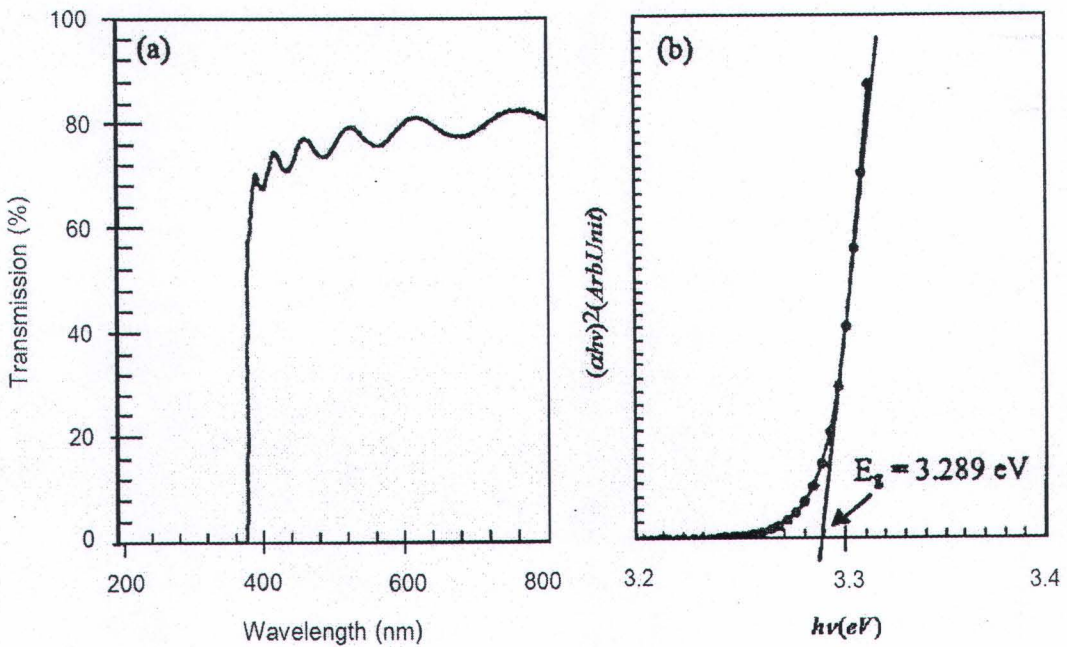
$$\alpha = (-\ln T) / d \quad (2.29)$$

จากスペกตรัมของการส่งผ่านแสงจึงสามารถหาค่าช่องว่างແບพลังงาน (Energy gap) ของฟิล์มได้สำหรับ Interband transition ของสารกึ่งตัวนำที่มีช่องว่างແບพลังงานแบบตรง (Direct band gap)

$$\alpha = \frac{(h\nu - E_g)^{1/2}}{h\nu} \quad (2.30)$$

$$(\alpha h\nu)^2 = (h\nu - E_g) \quad (2.31)$$

จะเห็นได้ว่า $(\alpha h\nu)^2 \propto (h\nu - E_g)$ จึงสามารถหาค่าช่องว่างແບพลังงาน (Energy gap) ได้โดยการเขียนกราฟความสัมพันธ์ระหว่าง $(\alpha h\nu)^2$ กับพลังงานของโฟตอน ($h\nu$) และประมาณค่าช่องว่างແບพลังงาน โดยการลากเส้นตรงตัดพลังงานไฟต่อน แสดงดังภาพประกอบ 2.17



ภาพประกอบ 2.17 สเปกตรัมการส่งผ่านแสงของฟิล์ม ZnO [55]

(a) สเปกตรัมการส่งผ่านแสงของฟิล์ม ZnO

(b) กราฟความสัมพันธ์ของ $(\alpha h\nu)^2$ และ $(h\nu)$ ซึ่งจะให้ค่าช่องว่างແບพลังงานจากส่วนตัดแกนของพลังงานไฟต่อนโดยการประมาณค่า

2.3.3 สมบัติເຂົ້າ (Haze properties)

ສມບັດເຂົ້າ ດີວ່າລັກຊະນະຫຼຸ່ມນັກພິລົມບາງໃສ້ອັນເນື່ອງຈາກກາຮະເຈີງຂອງແສງຈາກພື້ນຝຶກ
ໄຟໃນແລກພາຍນອກ [56] ປຶ້ງທາໄດ້ຈາກອັດຕາສ່ວນຂອງກາຮະເຈີງຈາກກາຮະທ້ອນຕ່ອກກາຮະທ້ອນຮຸມ
ທັງໝົດ ທີ່ອັດຕາສ່ວນຮ່ວ່າງກາຮະເຈີງຈາກກາຮະສົງຜ່ານແສງຕ່ອກກາຮະສົງຜ່ານແສງຮຸມທັງໝົດ [57] ດັ່ງ
ສົມກາຮ

$$H_R = \frac{R_{diff}}{R_{total}}$$

ຫຼື

$$H_T = \frac{T_{diff}}{T_{total}} \quad (2.32)$$

ເນື່ອ H_R ດີວ່າ ດີວ່າຄ່າເຂົ້າຈາກກາຮະທ້ອນແສງ (Reflection) ໄດ້ຈາກອັດຕາສ່ວນຮ່ວ່າງກາຮະເຈີງຈາກ
ກາຮະທ້ອນ (R_{diff}) ສ່ວນກາຮະທ້ອນຮຸມທັງໝົດ (R_{total})

H_T ດີວ່າ ດີວ່າຄ່າເຂົ້າຈາກກາຮະສົງຜ່ານແສງ (Transmission) ໄດ້ຈາກອັດຕາສ່ວນຮ່ວ່າງກາຮະເຈີງ
ຈາກກາຮະສົງຜ່ານແສງ (T_{diff}) ສ່ວນກາຮະສົງຜ່ານແສງຮຸມທັງໝົດ (T_{total})